



appunti
www.centroappunti.it

Corso Luigi Einaudi, 55 - Torino

Appunti universitari

Tesi di laurea

Cartoleria e cancelleria

Stampa file e fotocopie

Print on demand

Rilegature

NUMERO: 1742A -

ANNO: 2015

A P P U N T I

STUDENTE: Loverre Michele

MATERIA: Fisica II, Appunti + Esercizi - prof. Kaniadakis

Il presente lavoro nasce dall'impegno dell'autore ed è distribuito in accordo con il Centro Appunti. Tutti i diritti sono riservati. È vietata qualsiasi riproduzione, copia totale o parziale, dei contenuti inseriti nel presente volume, ivi inclusa la memorizzazione, rielaborazione, diffusione o distribuzione dei contenuti stessi mediante qualunque supporto magnetico o cartaceo, piattaforma tecnologica o rete telematica, senza previa autorizzazione scritta dell'autore.

ATTENZIONE: QUESTI APPUNTI SONO FATTI DA STUDENTI E NON SONO STATI VISIONATI DAL DOCENTE.
IL NOME DEL PROFESSORE, SERVE SOLO PER IDENTIFICARE IL CORSO.

CAMP O = grandezza fisica che in una certa regione dello spazio assume valori
dipendenti dalla posizione

CONDENSATORI

- serie $\frac{1}{C} = \sum_k C_k$

- parallelo $C = \sum_k C_k$

RESISTORI

- serie $R = \sum_k R_k$

- parallelo $\frac{1}{R} = \sum_k \frac{1}{R_k}$

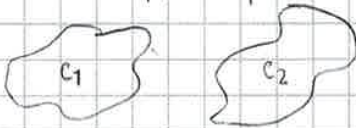
- principio di conservazione della carica elettrica

In un sistema elettronicamente isolato la somma algebrica di tutte le cariche rimane costante nel tempo, ovvero si conserva.

Il principio si osserva durante lo **strofinio** che è il **processo** in cui vengono separate, attraverso un agente meccanico, delle cariche (e^-) e trasferite da un corpo all'altro.

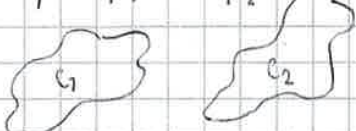
Prima dello strofinio, la carica del corpo era neutro (tutti i corpi sono neutri perché ogni atomo costituente della materia è neutro)

$$\text{Prima: } q_{C_1} = 0, q_{C_2} = 0, q_{TOT} = 0$$



Dopo lo strofinio, i corpi acquistano una carica opposta ed opposta, ma nel complesso la carica del sistema rimane nulla

$$\text{Dopo: } q_{C_1} = a, q_{C_2} = -a, q_{TOT} = 0$$



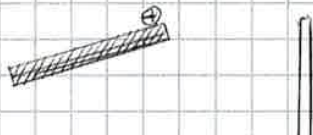
- induzione elettostatica = processo di separazione della carica

fenomeno statico che avviene quando ad un corpo \oplus elettrizzato viene avvicinato il corpo \ominus non elettrizzato.

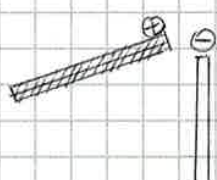
↓
l'eccesso di cariche dello stesso segno blocca la riacquisto di altre cariche dello stesso segno, congelando in tal modo il l'induzione elettostatica.

Son l'induzione elettostatica, avviene quanto segue:

- ① se il corpo elettrizzato è carico \oplus sulla superficie a contatto del corpo \ominus si determina una distribuzione di cariche \ominus , mentre sulla superficie opposta una distribuzione di cariche \oplus
- ② viceversa, se il corpo \ominus è carico \ominus



conclusione: sulla superficie del corpo non elettrizzato si determina una doppia distribuzione di cariche di segno opposto



LEGGE DI COULOMB (1795)

- è un assioma, non dimostrabile, verificata sperimentalmente

- Coulomb cercò di misurare l'entità delle interazioni fra corpi elettrizzati in funzione sia del valore delle cariche responsabili dell'elettrizzazione, sia della distanza tra i corpi.

Per a q_1, q_2

r^n $n=2$ dimostrato successivamente

$$F_C(r) = k \frac{q_1 q_2}{r^2} \quad \text{nel vuoto } k = \frac{1}{4\pi \epsilon_0} \quad \text{con } \epsilon_0 = \text{costante dielettrica del vuoto} = 8,85 \cdot 10^{-12} \text{ F/m}$$

$$k = 9 \cdot 10^9 \text{ (N.m}^2\text{)/C}^2$$

k = coefficiente di Coulomb che dipende dal sistema di misura usato ovvero dipende dalle caratteristiche del vuoto (dielettrico) nel quale la misura è fatta

carica unitaria = carica trasportata da una corrente unitaria (Ampere) in un tempo unitario (secondi)

$$\Delta q = i \Delta t$$

$$1A \cdot 1s = 1C = \text{coulomb}$$

In unità meccaniche, si definisce carica unitaria quella carica che, posta ad una distanza unitaria da un'altra carica, risulta soggetto all'azione di una forza unitaria

CAMPIONE ELETROSTATICO

Def: il rapporto fra la forza coulombiana (esercitata a distanza) sulla carica q e la carica stessa (carica q_0 , sorgente del campo)

$$\bar{E}_0(r) = \frac{1}{4\pi\epsilon_0} \frac{q}{r^2} \hat{u}_r \rightarrow \bar{F}_c = q \bar{E}_0$$

Il campo eletrostatico è una proprietà intrinseca della carica che lo genera, quindi esiste perché esiste la carica sorgente, indipendentemente dalla presenza di una qualche carica (diversa dalla carica sorgente) che ne subisca l'effetto.

La carica sorgente non può esercitare alcuna azione su se stessa.

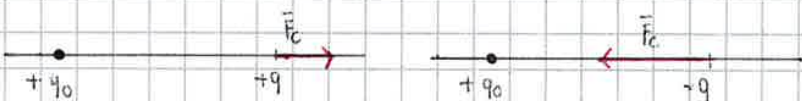
-**linee di campo:** Faraday chiamò così quelle particolari linee che, in ogni punto del campo, hanno come tangente il vettore \bar{E}_0 .

Se le cariche sono puntiformi \rightarrow infinite rette uscenti dalla carica sorgente con simmetria sferica ed orientate: verso l'esterno $q+$ verso l'interno $q-$

Per il principio di sovrapposizione degli effetti, il campo eletrostatico generato da un insieme di cariche è dato dalla somma vettoriale dei campi eletrostatici generati dalle singole cariche.

$$\bar{E}_{TOT} = \sum_k \bar{E}_k$$

Quindi: se $q > 0 \rightarrow$ repulsiva
 $q < 0 \rightarrow$ attrattiva



-**cariche elettriche distribuite**

$$\lambda = \frac{dq}{dl} \rightarrow \text{densità lineare (C/m)}$$

$$\sigma = \frac{dq}{dS} \rightarrow \text{densità superficiale (C/m²)}$$

$$\rho = \frac{dq}{dV} \rightarrow \text{densità volumica (C/m³)}$$

La densità è funzione di (x, y, z) quindi si parla di distribuzione di carica.

$$d\bar{E}_0 = \frac{1}{4\pi\epsilon_0} \frac{\lambda(x, y, z) dl}{|\vec{r} - \vec{r'}|} \hat{u}_r \rightarrow \text{distribuzione lineare}$$

$$d\bar{E}_0 = \frac{1}{4\pi\epsilon_0} \frac{\sigma(x, y, z) dS}{|\vec{r} - \vec{r'}|} \hat{u}_r \rightarrow \text{distribuzione superficiale}$$

$$d\bar{E}_0 = \frac{1}{4\pi\epsilon_0} \frac{\rho(x, y, z) dV}{|\vec{r} - \vec{r'}|} \hat{u}_r \rightarrow \text{distribuzione volumica}$$

Se le densità risultano uniformi per tutti i punti, il campo eletrostatico complessivo si determina sommando i contributi di infiniti pezzi infinitesimi (p.s. degli effetti).

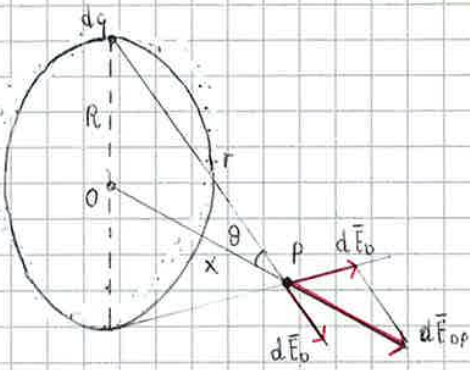
$$\bar{E}_0 = \frac{1}{4\pi\epsilon_0} \lambda \int \frac{dl}{|\vec{r} - \vec{r'}|} \hat{u}_r, \quad \bar{E}_0 = \frac{1}{4\pi\epsilon_0} \sigma \iint \frac{dS}{|\vec{r} - \vec{r'}|} \hat{u}_r, \quad \bar{E}_0 = \frac{1}{4\pi\epsilon_0} \rho \iiint \frac{dV}{|\vec{r} - \vec{r'}|} \hat{u}_r$$

① anello carico uniformemente

Calcolo il campo elettrostatico nel punto del suo ane, in funzione della distanza x , dal centro della distribuzione.

Considero il generico elemento $dq = \lambda dl$
Tale carica genera nel punto $P(x)$ il campo elettrostatico:

$$dE_0 = \frac{1}{4\pi\epsilon_0} \frac{dq}{r^2} = \frac{1}{4\pi\epsilon_0} \frac{\lambda dl}{r^2}$$



Considero il contributo dell'elemento diametralmente opposto al precedente: punto genera un campo elettrostatico di valore uguale a quello precedente.

Per il principio di sovrapposizione degli effetti, il campo elettrostatico complessivo nel punto $P(x)$ è uguale alla risultante dei due campi e, a causa della simmetria delle due cariche, è orientata lungo l'ene della distribuzione

$$dE_{op} = 2dE_0 \cos\theta$$

$$\text{Noto che } \cos\theta = \frac{x}{r}$$

Quindi:

$$dE_{op} = 2dE_0 \cos\theta =$$

$$= \frac{2}{4\pi\epsilon_0} \frac{\lambda dl}{r^2} \cdot \frac{x}{r} = \frac{1}{2\pi\epsilon_0} \frac{\lambda x dl}{r^3}$$

$$E_{op} = \int_{R/2}^{R/2} dE_{op} = \int_{R/2}^{R/2} \frac{1}{2\pi\epsilon_0} \frac{\lambda x dl}{r^3} =$$

$$= \frac{\lambda}{2\pi\epsilon_0} \frac{1}{r^2} \int_0^{R/2} x dl =$$

$$= \frac{\lambda}{2\pi\epsilon_0} \frac{x}{r^2} \cdot \frac{\pi R}{2} =$$

$$= \frac{1}{2\epsilon_0} \frac{\lambda x R}{r^3} =$$

$$E_{op} = \frac{1}{2\epsilon_0} \frac{\lambda}{(x^2 + R^2)^{3/2}} \cdot R$$

→ la x è costante perché comunque io scelga le copie di carica, x è la distanza di P dall'anello

Gli estremi di integrazione sono $0, \pi R$ ovvero se integro su metà circonferenza perché quando considero un elemento, poi considero immediatamente l'elemento diametralmente opposto e in definitiva, considero metà circonferenza perché l'altra metà viene automaticamente considerata quando prendo gli elementi diametralmente opposti

$$r^2 = x^2 + R^2$$

- il campo al centro dell'anello è nullo perché ogni coppia crea un campo nullo
- per $x \rightarrow \infty$, allontanandomi dall'anello, mantiene la legge di Coulomb perché l'anello è visto come una carica puntiforme.
- per $R \rightarrow 0$, ovvero quando il corpo perde la sua forma ma non la sua carica, si ottiene la legge di Coulomb

A causa della forza F_C la velocità di caduta delle goccioline, osservata con un occhiale, viene rallentata.

$$\text{Si ha: } v' = v_0 - \frac{1}{6} \frac{F_C}{\pi r^2} \cdot q < v_0$$

Conoscendo i valori della carica q di elettrizzazione distribuita in E_0 , v_0 , r , η e v' si ricava il valore della carica q di elettrizzazione distribuita sulla superficie della gocciolina.

Invirando con opportune radiazioni l'aria all'esterno del contenitore, la gocciolina acquisisce ulteriore carica e varia il suo stato di moto.

La variazione di velocità che subisce risulta

$$\Delta v = v' - v_0 = \frac{1}{6} \frac{F_C}{\pi r^2} \cdot \Delta q$$

da qui si determina il valore della carica acquisita durante della gocciolina, indipendentemente dal valore iniziale donato al processo di nebulizzazione.

Si verifica che Δv assume valore quantizzato $\Rightarrow \Delta q$ assume valore quantizzato. In assenza di radiazioni, comunque, deve essere multipo utero di un valore minimo della carica.

$$q = tne \quad n = (10 \div 100) \quad e = 1,6 \cdot 10^{-19} \text{ C}$$

POTENZIALE ELETROSTATICO

La carica puntiforme $+q_0$ fissa genera un campo a simmetria sferica E_0 che esercita un'azione sulla carica q , in moto all'interno del campo lungo una traiettoria da A a B.

Quando q si muove perché q_0 genera un campo elettrico.

$$\vec{F}_C = +q \vec{E}_0$$

$d\vec{l} = \vec{F}_C \cdot d\vec{l} \rightarrow$ lavoro compiuto dalla f. elettrostatica

$$L_{AB} = \int_A^B \vec{F}_C \cdot d\vec{l} = q \int_A^B \vec{E}_0 \cdot d\vec{l} \rightarrow \text{integrale di linea}$$

$$= q \int_A^B \vec{E}_0(r) \cdot d\vec{l} \cos\theta = \rightarrow d\vec{l} = d\vec{r} + d\vec{n}$$

$$\vec{E}_0 \cdot d\vec{l} = \vec{E}_0 \cdot (d\vec{r} + d\vec{n}) \rightarrow \vec{E}_0 \cdot d\vec{r} \text{ perché } \vec{E}_0 \perp d\vec{n}$$

$$= \vec{E}_0 \cdot d\vec{r} \cos\theta$$

$$= q \int_{r_A}^{r_B} \vec{E}_0(r) \cdot dr =$$

$d\vec{r} \cos\theta = dr =$ componente dello spostamento lungo la direzione del campo elettrostatico

$$= q \int_{r_A}^{r_B} \frac{q_0}{4\pi\epsilon_0 r^2} dr =$$

$$= q \left(\frac{1}{4\pi\epsilon_0} \frac{q_0}{r_A} - \frac{1}{4\pi\epsilon_0} \frac{q_0}{r_B} \right) =$$

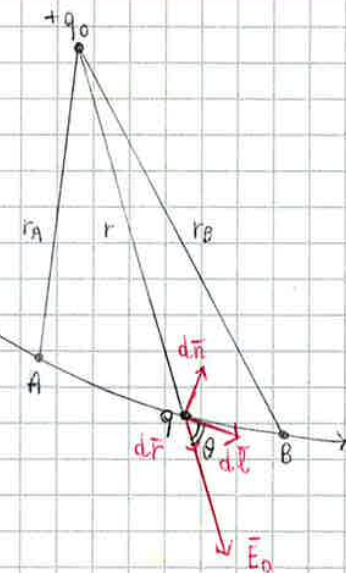
$$= -q \left(\frac{1}{4\pi\epsilon_0} \frac{q_0}{r_B} - \frac{1}{4\pi\epsilon_0} \frac{q_0}{r_A} \right) = \rightarrow V(r) = \frac{1}{4\pi\epsilon_0} \frac{q_0}{r} \rightarrow$$

potenziale elettrostatico del campo E_0 [V/C = 1 volt] (grandezza scalare)

$$= -q (V(r_B) - V(r_A)) =$$

$$L_{AB} = -q \Delta V \rightarrow$$

lavoro della forza elettrostatica agente sulla carica q



DIPOLO ELETTRICO

E' un sistema costituito da due cariche di identico valore, segno opposto, poste a distanza fissa tra loro.

- momento di dipolo elettrico $\vec{p} = q \vec{d}_{AB}$ = grandezza fisica che descrive le caratteristiche del dipolo elettrico

$$\vec{p} = q \vec{d}_{AB}$$

modulo $= |\vec{p}| = q |\vec{d}_{AB}|$

direzione = congruente della carica

verso = dalla carica negativa a quella positiva

- campo elettostatico generato da un dipolo elettrico
I campi elettostatici generati dalle due cariche nel punto $P(x)$
hanno identico modulo

$$E_{0+} = E_{0-} = \frac{1}{4\pi\epsilon_0} \frac{q}{r^2}$$

Applicando il principio di sovrapposizione degli effetti:

$$\vec{E}_{op} = \vec{E}_{0+} + \vec{E}_{0-} \parallel \vec{p} \text{ ma di verso opposto}$$

Allora

$$\vec{E}_{op} = E_{0+} \cos\theta = E_{0+} \cos\theta + E_{0-} \cos\theta$$

Quindi:

$$E_{op} = \frac{q}{4\pi\epsilon_0 r^2} \cdot q \cdot \cos\theta =$$

$$\rightarrow \cos\theta = \frac{d/2}{r}$$

$$r^2 = x^2 + \left(\frac{d}{2}\right)^2$$

$$= \frac{q}{4\pi\epsilon_0 r^2} \cdot \frac{d}{2} =$$

$$\rightarrow q \cdot d = p$$

$$= \frac{1}{4\pi\epsilon_0} \frac{q d}{r^3}$$

Assumendo il valore del momento di dipolo elettrico si ricava un valore per il quale risulta impossibile distinguere il contributo della carica da quello di della distanza. Per questo motivo il

calcolo del campo elettostatico è fatto ad una distanza assolutamente paragonabile rispetto alla dimensione del dipolo ($x \gg d$)

- potenziale elettostatico generato da un dipolo elettrico

Il potenziale elettostatico totale è dato, per il p.s. eff., dalla somma dei potenziali elettostatici generati dalle due cariche di segno opposto

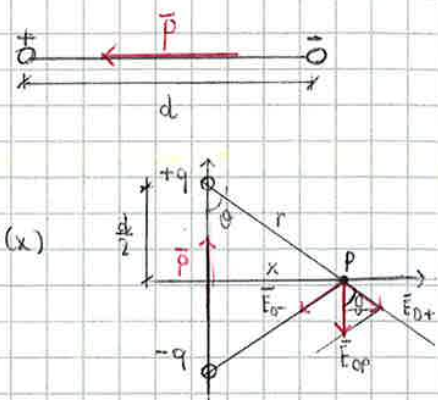
$$V_p(r) = V_+ + V_- = \frac{1}{4\pi\epsilon_0} \frac{q}{r_+} - \frac{1}{4\pi\epsilon_0} \frac{q}{r_-} = \frac{q}{4\pi\epsilon_0} \frac{r_- - r_+}{r_+ r_-}$$

Il punto P si trova ad una distanza assolutamente paragonabile rispetto alla sua dimensione.

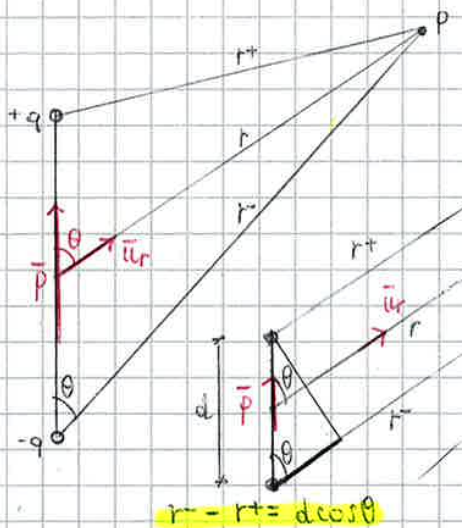
In tali situazioni le distanze di P dalle sue cariche sono circa uguali, cioè

$$r_+ \approx r_- \approx r$$

e i due angoli sono quasi uguali



$(x \gg d)$
(potere importante)



LEGGE DI GAUSS

Il flusso del campo \vec{E} attraverso una qualsiasi superficie chiusa è uguale alla somma algebrica delle cariche contenute dentro la superficie, comunque non suddivise, chiuso Σ .

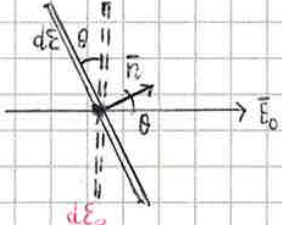
- **flusso**: si definisce flusso orientato ad \vec{E}_0 attraverso la superficie Σ lo ppt scalare

$$d\phi(\vec{E}_0) = \vec{E}_0 \cdot \vec{n} \cdot d\Sigma$$

\vec{n} : versore normale alla superficie Σ nel punto dove considero il campo \vec{E}_0

$$d\phi(\vec{E}_0) = E_0 d\Sigma \cos \theta = E_0 d\Sigma_0 \rightarrow$$

versore normale retto (proiezione della superficie in direzione normale a quella del campo)



Il flusso attraverso una superficie finita Σ si ottiene sommando i flussi infinitesimali degli infiniti elementi di area

$$\phi(\vec{E}_0) = \iint_{\Sigma} \vec{E}_0 \cdot \vec{n} d\Sigma \rightarrow$$

elemento di area orientato
area di una sezione piano perché è un'area infinitesima

Osservazioni:

$$\begin{aligned} 0 < \theta < \pi/2 &\Rightarrow d\phi(\vec{E}_0) > 0 \\ \pi/2 \leq \theta \leq \pi &\Rightarrow d\phi(\vec{E}_0) < 0 \\ \theta = 0 &\Rightarrow d\phi(\vec{E}_0) = E_0 d\Sigma \\ \theta = \pi &\Rightarrow d\phi(\vec{E}_0) = -E_0 d\Sigma \\ \theta = \frac{\pi}{2} &\Rightarrow d\phi(\vec{E}_0) = 0 \end{aligned}$$

flusso uscente

entrante
uscente minimo
entrante minimo

\Rightarrow il flusso dipende da θ e non dipende dalla distanza

- sorgente di campo vicina ad una superficie chiusa

cono di flusso: superficie conica rivolta costituita dalle linee di campo \vec{E}_0 uscenti dalla sorgente $+q_0$ con angolo solido $d\Omega$

il flusso complessivo attraverso abbr. sup. chiusa di volume dW , definita dalle sezioni $d\Sigma_1$ e $d\Sigma_2$ (intersezione del cono di flusso) e dal mantello laterale del cono compreso fra le sezioni vale:

$$d\phi_{tot}(\vec{E}_0) = d\phi_1(\vec{E}_0) + d\phi_2(\vec{E}_0) + d\phi_{lat}(\vec{E}_0)$$

$$\vec{E}_{01} \cdot \vec{n}_1 d\Sigma_1 = \vec{E}_{02} \cdot \vec{n}_2 d\Sigma_2 \neq E_{01} d\Sigma_1 \cos \theta_1 > 0 \text{ perché } 0 < \theta < \frac{\pi}{2} \Rightarrow \text{flusso entrante}$$

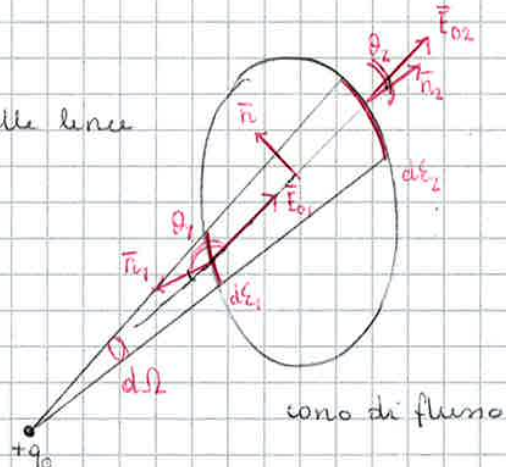
$$\Rightarrow \vec{E}_{01} \cdot d\Sigma_1 \cos \theta_1 < 0 \text{ perché } \frac{\pi}{2} < \theta_1 < \pi \Rightarrow \text{flusso uscente}$$

$$\vec{E}_0 \cdot \vec{n} d\Sigma_{lat} = 0 \text{ perché } \vec{E}_0 \parallel \vec{n} \Rightarrow \cos \theta = 0$$

Quindi:

$$d\phi_{tot}(\vec{E}_0) = -d\phi_1(\vec{E}_0) + d\phi_2(\vec{E}_0) = 0 \rightarrow$$

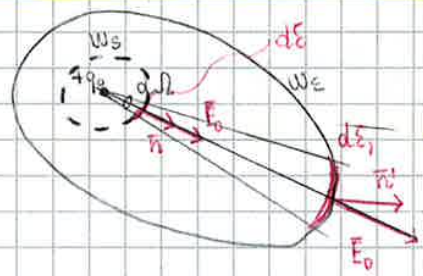
all'interno del volume dW non ci sono sorgenti di campo \Rightarrow il numero di linee di campo entranti entro la sezione $d\Sigma_1$ è uguale a quello delle linee uscenti dalla sezione $d\Sigma_2$



- sorgente interna ad una superficie chiusa

$$d\phi = \vec{E}_0 d\Sigma \Rightarrow \vec{E}_0 d\Sigma \cos \theta = dq \rightarrow d\phi = d\Sigma \cos \theta$$

$$= \vec{E}_0 d\Sigma \frac{1}{r^2} k \frac{q}{r_0^2} r^2 d\Omega \frac{q}{r_0^2} d\Omega \rightarrow d\phi = r^2 d\Omega$$



Quindi:

$$\Phi_{\text{tot}}(\vec{E}_0) = \begin{cases} 0 & \rightarrow \text{se la carica è esterna alla superficie} \\ \frac{1}{\epsilon_0} \sum q_k (\text{interna}) & \rightarrow \text{se le cariche sono} \\ \frac{1}{\epsilon_0} \int p(x, y, z) dV & \rightarrow \text{se le cariche sono interne alla superficie e discrete} \end{cases}$$

$$\oint_S \vec{E}_0 \cdot d\vec{\Sigma} = \frac{Q}{\epsilon_0} \rightarrow \text{forma integrale del teorema di Gauss}$$

L'equazione di Maxwell

Come scegliere la superficie di Gauss?

- parallelo per \vec{E}
- se la superficie è quella che il campo elettrico investe normalmente la superficie
- se il sistema presenta simmetria assiale è tutto più facili

Legge di Gauss \Rightarrow legge di Coulomb

Partendo dalla legge di Gauss si deve giungere alla formula di Coulomb del campo elettrico.

Considero una carica puntiforme

Selego come superficie di Gauss una sfera di raggio r pari alla distanza q_0 dal punto P in cui si vuol determinare il campo.Essendo a simmetria sferica, in ogni punto della superficie il campo elettrico è \perp ad essa.

Quindi

$$d\phi(\vec{E}_0) = \vec{E}_0 \cdot d\vec{\Sigma} = \vec{E}_0 \cdot d\Sigma \Rightarrow \Phi(\vec{E}_0) = \oint_S \vec{E}_0 \cdot d\vec{\Sigma} = (\epsilon_0) \oint_S d\vec{\Sigma} = \epsilon_0 k \pi r^2 \rightarrow \text{area della superficie sferica}$$

Applico Gauss

$$\Phi(\vec{E}_0) = \frac{q_0}{\epsilon_0} \Rightarrow \frac{q_0}{\epsilon_0} = \epsilon_0 k \pi r^2 \Rightarrow \vec{E}_0 = \frac{q_0}{k \pi r^2 \epsilon_0} = k \cdot \frac{q_0}{r^2} \rightarrow \text{formula del campo elettrico}$$



Quindi si ha:

$$\text{per } dx > 0: f(x+dx) \approx f(x) + \frac{\partial f(x)}{\partial x} dx$$

$$\text{per } dx < 0: f(x-dx) \approx f(x) - \frac{\partial f(x)}{\partial x} dx$$

$$\begin{cases} f(x+dx, y, z) \approx f(x, y, z) + \frac{\partial f(x, y, z)}{\partial x} dx \\ f(x-dx, y, z) \approx f(x, y, z) - \frac{\partial f(x, y, z)}{\partial x} dx \end{cases}$$

inizialmente

Quindi per $d\phi$ si ha:

$$\begin{cases} d\phi_x = (E_x(x, y, z) + \frac{1}{2} \frac{\partial E_x(x, y, z)}{\partial x} dx) dy dz - (E_x(x, y, z) - \frac{1}{2} \frac{\partial E_x(x, y, z)}{\partial x} dx) dy dz = \\ d\phi_y = (E_y(x, y, z) + \frac{1}{2} \frac{\partial E_y(x, y, z)}{\partial y} dy) dx dz - (E_y(x, y, z) - \frac{1}{2} \frac{\partial E_y(x, y, z)}{\partial y} dy) dx dz = \\ d\phi_z = (E_z(x, y, z) + \frac{1}{2} \frac{\partial E_z(x, y, z)}{\partial z} dz) dx dy - (E_z(x, y, z) - \frac{1}{2} \frac{\partial E_z(x, y, z)}{\partial z} dz) dx dy = \end{cases}$$

$$\begin{cases} d\phi_x = \frac{\partial E_x(x, y, z)}{\partial x} dx dy dz \\ d\phi_y = \frac{\partial E_y(x, y, z)}{\partial y} dx dy dz \\ d\phi_z = \frac{\partial E_z(x, y, z)}{\partial z} dx dy dz \end{cases}$$

Noto che $dx dy dz = dV$, inoltre per il th di Gauss, $d\phi = \frac{dq}{\epsilon_0}$ dove $dq = p(x, y, z) dV$

Quindi si ha:

$$d\phi = \left(\frac{\partial E_x}{\partial x} + \frac{\partial E_y}{\partial y} + \frac{\partial E_z}{\partial z} \right) dV = \frac{1}{\epsilon_0} p dV$$

Notare si è ammessa la dipendenza di p, E_x, E_y, E_z da (x, y, z)

$$\left(\frac{\partial E_x}{\partial x} + \frac{\partial E_y}{\partial y} + \frac{\partial E_z}{\partial z} \right) = \frac{1}{\epsilon_0} \cdot p \rightarrow \text{forma differenziale del th di Gauss}$$

$$\text{fra } \bar{\nabla} \cdot \vec{E} = \frac{\partial E_x}{\partial x} + \frac{\partial E_y}{\partial y} + \frac{\partial E_z}{\partial z} \rightarrow \text{divergenza del campo } \vec{E} = \text{medietto scalare dell'operatore} \\ \downarrow \text{grandezza scalare}$$

Quindi:

$$\bar{\nabla} \cdot \vec{E} = \frac{p}{\epsilon_0} \rightarrow \text{legge di Gauss in forma differenziale (1^a eq. di Maxwell)}$$

Osservazioni:

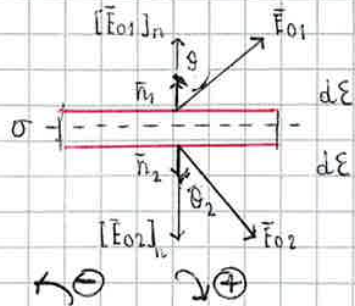
- è una relazione locale che lega le derivate del campo in un determinato punto con la densità di carica p in quel punto
- il campo \vec{E} ha divergenza diversa da zero solo nei punti in cui esiste una densità di carica, nello spazio vuoto, la divergenza di \vec{E} è nulla
- anche se abbiamo utilizzato le coordinate cartesiane nella def. della divergenza, era indipendente dal sistema di coordinate prescelto, per la sua natura di grandezza scalare

- dalla legge di Gauss:

$$d\phi = \frac{dq}{\epsilon_0} = \frac{p(x, y, z) dV}{\epsilon_0} \Rightarrow d\phi = \bar{\nabla} \cdot \vec{E} \cdot dV \rightarrow \bar{\nabla} \cdot \vec{E} = \frac{d\phi}{dV}$$

la divergenza del campo nel punto P è data dal rapporto tra il flusso attraverso la superficie di un parallelepipedo infinitesimo centrato su P e il suo volume

- la divergenza è diversa da 0 solo dove ci sono cariche



$$d\phi(\vec{E}_0) = d\phi(\vec{E}_{01}) + d\phi(\vec{E}_{02}) + d\phi_{\text{rest}}(\vec{E}_0) = \frac{1}{\epsilon_0} dq \rightarrow \text{Gauss}$$

$$\vec{E}_0 = \vec{E}_{01} \cdot \vec{n}_1 d\epsilon + \vec{E}_{02} \cdot \vec{n}_2 d\epsilon = \frac{1}{\epsilon_0} \sigma d\epsilon \rightarrow \text{se semplifico}$$

(non mi interessa
che $d\epsilon \neq 0$)

$$\vec{E}_{01} \cos \theta_1 + \vec{E}_{02} \cos \theta_2 = \frac{1}{\epsilon_0} \sigma$$

$$\begin{cases} E_{01} \cos \theta_1 = [E_{01}]_n \\ E_{02} \cos \theta_2 = [E_{02}]_n \end{cases} \rightarrow \text{la componente del campo elettrico va verso il baro}$$

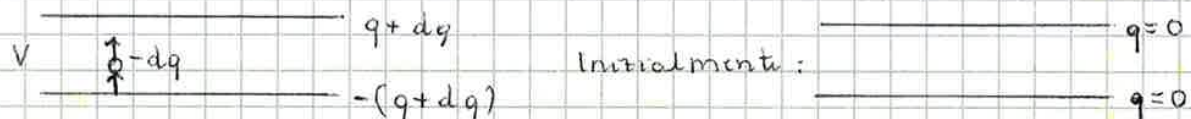
$[F_{01}]_n - [F_{02}] = \frac{1}{\varepsilon_0} \sigma$ → quando si attraversa una distribuzione piana di cariche, la componente normale del campo è subita una discontinuità pari a $\frac{1}{\varepsilon_0} \sigma$

lato a livello locale: in ogni punto della superficie, non è necessario che σ sia costante né che la superficie sia piana

verticalmente si esime: $\bar{F}_{\text{SL}} = \bar{F}_S$

ENERGIA DEL CAMPO ELETROSTATICO

Considero un condensatore piano e suppongo non esista alcuna carica. Farò il condensatore spostando una carica negativa infinitesimale



Ad un percorso istante $t = 2$, forma una carica negativa e una carica positiva perché ho aspettato una qnt infinitesimale di carica.

Per fare questa operazione dovrà fornire lavoro (lavoro negativo perché fornito dal sistema) in quanto dovrà uscire le forze attrattive.

Il lasso infernale da compiere sarà

$dl = -q q \Delta V$ → il lavoro è infinitesimo perché la carica che sto considerando è infinitesima
 ma (HA LO SPOSTAMENTO È FINITO)
 → il lavoro è stato fornito dal sistema

Ricordar: $\text{Lab} = -q \Delta V$ = lavoro della forza di attrazione esercitata dalla carica q .

$\Delta V = \frac{q}{C}$ intendendo $C = \frac{q}{\Delta V}$ pu def. di capacità

\rightarrow non è ddp ma è la variazione presente sulle armature
 $\rightarrow \Delta V = \text{ddp}$ fra le armature.

Quinch:

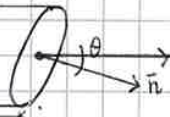
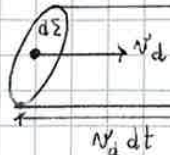
$$dL = -dg \frac{\partial}{\partial V_C}$$

$\int_0^Q dL \rightarrow$ somma gli infiniti lavori infinitesimi che ho fornito qui proibitata spostare una calza infinitesimale dalla situazione iniziale $q=0$ a quella finale $q=Q$

$$= - \int_{\frac{1}{2}a^2}^{\frac{1}{2}a^2} \frac{1}{c} \Delta V dq = - \frac{1}{c} \left(\frac{1}{2}q^2 \right) \Big|_{\frac{1}{2}a^2}^{a^2} = - \frac{1}{2} \cdot \frac{1}{c} a^2$$

CONDUZIONE ELETTRICA

il cilindro non è circolare retto $\bar{n} \neq \bar{E}$



$$d\Phi = \bar{v} dt \cdot d\bar{S}$$

$p = Ne$
densità di carica
elettrica (carica)
densità di particelle

N_d = velocità di destra = è uguale per tutte le cariche libere ed è orientata lungo la direzione del campo
le particelle dunque viaggiano tutte nella direzione del campo

Definisco: \vec{j} cambia su ogni punto dello spazio \Rightarrow campo di velocità

$$\vec{j} = p(\vec{v}) \rightarrow$$
 vettore densità di carica corrente

$$\vec{j} \cdot d\bar{S} dt = dQ$$

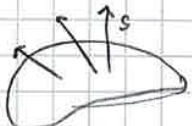
$$\frac{dQ}{dt} = \vec{j} \cdot d\bar{S} \rightarrow n: \text{di cariche che attraversano la sezione nell'unità di tempo}$$

$$i = \frac{dQ}{dt} \rightarrow$$
 intensità della corrente elettrica i Ampere = $\frac{1C}{1s}$

Quando gli elettroni di un conduttore carico, se sollecitati ad un campo elettrico esterno cominciano a mettersi in movimento.

Si ha corrente elettrica = flusso di elettroni in movimento

In una sezione qualsiasi:



$$di = \vec{j} \cdot d\bar{S}$$

$i = \phi_s(j) =$ flusso della densità di corrente = intensità di corrente

$$\text{Ha } \phi_s(j) = \int_S \vec{j} \cdot d\bar{S} \Rightarrow dI = \vec{j} \cdot d\bar{S} \Rightarrow i = \int dQ = di \cdot dt$$

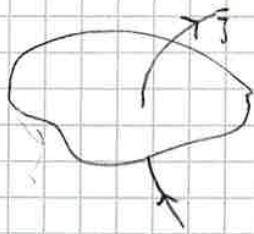
III ordine
differenziale del secondo ordine

Quindi: (pag 16)

j = densità di corrente

i = intensità di corrente = flusso del vettore densità di corrente attraverso ad una qualunque sezione del conduttore

Attraverso una sezione chiusa



\vec{j} è positivo se entranti
negativo se uscenti

Si ha

$$essendo i = \frac{dq}{dt}$$

convenzione perché:

se $\frac{dq}{dt} < 0 \Rightarrow$ si ha una diminuzione di cariche

$$\downarrow$$

$$\vec{j} > 0 \Rightarrow i > 0$$

- Se l'intensità aumentasse, diminuirebbe il numero di cariche libere interne al conduttore ($i > 0 \Rightarrow \frac{dq}{dt} < 0$)

- Se l'intensità diminuisse, aumenterebbe il numero di cariche libere interne al conduttore

$$\text{Ma } \vec{J} = p \cdot \vec{v} = -N e \vec{v} \xrightarrow{\text{carica dell'elettrone}} \vec{N} = -\frac{\vec{J}}{Ne}$$

Quindi:

$$\vec{a} = -\frac{e\vec{E}}{m} = \frac{\vec{N}}{T} \Rightarrow$$

$$\Rightarrow -\frac{\vec{J}}{NeT} = -\frac{e\vec{E}}{m} \Rightarrow \vec{J} = \frac{Ne^2 T}{m} \cdot \vec{E} \xrightarrow{\vec{E} = \rho \cdot \vec{J}} \sigma = \frac{Ne^2 T}{m}, p = \frac{1}{\sigma}$$

Quindi: σ = conducibilità
 p = resistività

Osservi che la densità di corrente è proporzionale al campo elettrico
le particelle si muovono in moto e quindi ho corrente.

- legge di Ohm

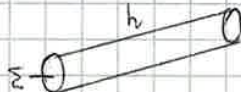
Per mettere questa legge si nota la relazione tra resistenza, potenziale e intensità di corrente.

la velocità tra le particelle è sempre uguale.

L'intensità di corrente attraverso la superficie finita Σ è data da: $i = \int_{\Sigma} \vec{J} d\Sigma$

Se la superficie Σ è ortogonale a \vec{J} e \vec{J} ha stesso valore in tutti i punti di Σ , la densità di corrente \vec{J} è la corrente che attraversa l'unità di superficie perpendicolare alla direzione del moto delle cariche

$$i = \vec{J} \cdot \Sigma$$



$$\text{Ma } \vec{J} = \sigma \cdot \vec{E} = \frac{1}{p} \vec{E}$$

$$\Rightarrow i = \frac{1}{p} \vec{E} \cdot \Sigma \rightarrow \vec{E} =$$

$$\Rightarrow i = \frac{1}{p} \vec{E} \cdot \Sigma \Rightarrow \vec{E} = \frac{p \cdot i}{\Sigma}$$

$$\Rightarrow \vec{E} = \frac{pi}{\Sigma}$$

$$\text{Essendo } E = -\frac{dV}{dx} \Rightarrow V = -E \cdot h \rightarrow \text{Punto il modulo: } V = E \cdot h \Rightarrow V = \frac{ph}{\Sigma} \cdot i$$

$$R = \frac{ph}{\Sigma} \Rightarrow V = R \cdot i \rightarrow \text{legge di Ohm}$$

\downarrow Resistenza

$$G = \frac{1}{R} = \text{conduttanza}$$

- legge di Joule

per ricavare la formula che bisogna fornire per far uscire la corrente elettrica in un tratto di conduttore di sezione S e lungo h

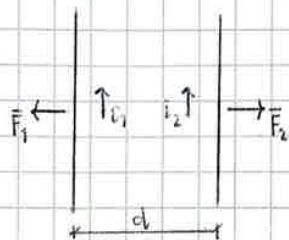
Immagino la corrente come flusso di elettroni in una linea carica quale forza elettrica F data da

$$\vec{F} = e\vec{E} \rightarrow \text{positiva perché pura come vettore}$$

Questa forza produce un lavoro dato da: $dW = \vec{F} \cdot d\vec{l} \Rightarrow dW = -F \cdot dl \rightarrow$ lavoro negativo quindi da fornire



FORZA MAGNETICA



i₁ crea \vec{B}_1 nello spazio circostante
i₂ è immersa nel campo $\vec{B}_1 \Rightarrow$ sente la forza \vec{F}_2
Inverso i₂: crea $\vec{B}_2 \Rightarrow$ i₁ sente la forza \vec{F}_1

Solo se le cariche sono in movimento si ha la forza magnetica
(la carica statica non ha anche se le cariche non sono in movimento)

$\vec{F} = q\vec{v} \wedge \vec{B}$ → **forza magnetica di lounit** → $F = qvB \sin \theta$

pag 58

Si Assume $\theta = \frac{\pi}{2}$

Dimostra che la forza magnetica non compie lavoro

$$dW = \vec{F} \cdot d\vec{l}$$

$$\vec{F} = q\vec{v} \wedge \vec{B}$$

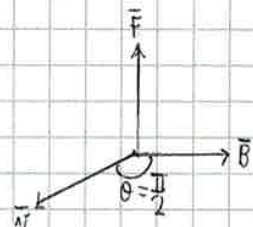
$$dW = \vec{F} \cdot d\vec{l} = (q\vec{v} \wedge \vec{B}) \cdot d\vec{l} =$$

$$= (q\vec{v} \wedge \vec{B}) \cdot \frac{d\vec{l}}{dt} \cdot dt =$$

$= (q\vec{v} \wedge \vec{B}) \cdot \vec{v} \cdot dt \rightarrow \vec{v} \wedge \vec{B}$ è un vettore che è contemporaneamente

perpendicolare a \vec{v} e \vec{B}
ovvero \vec{F} è sempre normale a \vec{v}

↓
prodotto scalare tra 2 vettori perpendicolari è nullo



Quindi:

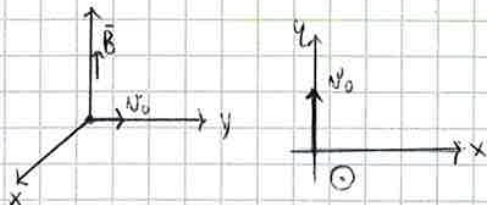
$W = \int dW = 0 \rightarrow$ il lavoro fatto dalla forza magnetica è evidentemente nullo

Per il teorema dell'energia cinetica

$$\Delta E_k = \Delta W_{AB} = \frac{1}{2}mv_B^2 - \frac{1}{2}mv_A^2 = 0$$

$E_{k_B} - E_{k_A} = 0 \Rightarrow v_A = v_B \rightarrow$ la velocità resta costante in modulo ma non in direzione

- moto di una carica su un campo magnetico



○ campo magnetico uscente
⊗ " " " entrante

$$F = qvB \text{ (in modulo)}, \theta = \frac{\pi}{2}$$

$$F = ma = m(a_T + a_N) \rightarrow \text{legge di Newton: } a_T = \frac{dv}{dt}, a_N = \frac{v^2}{R}$$

Quindi:

$$\int qvB = m \frac{v^2}{R}$$

$$\int \frac{dv}{dt} = 0 \text{ tenendo } v = \text{cost} \text{ (dimostrato prima)}$$

$$\text{Quindi: } R = \frac{mv}{qB} \rightarrow \text{essendo tutte quantità costanti} \Rightarrow R = \text{cost}$$

→ **raggio di curvatura = rapporto della circonferenza osculatrice: È UNICA !!**



conclusione: la traiettoria di una carica in \vec{B} è una circonferenza

pag 59 pag 59

$$\frac{Cq(t)}{C} + R \frac{dq}{dt} = \epsilon; \quad \epsilon - \frac{q(t)}{C} = R \frac{dq}{dt}$$

$$\frac{\epsilon - q(t)}{C} = R \frac{dq}{dt}$$

$$\frac{\epsilon - q(t)}{CR} = \frac{dq}{dt} \rightarrow \frac{\epsilon - q(t)}{dq} = \frac{1}{CR} \rightarrow \frac{1}{\epsilon - q(t)} dq = \frac{1}{CR} dt$$

$$\int_0^q \frac{1}{\epsilon - q(t)} dq = \int_0^t \frac{1}{CR} dt \quad -(\epsilon - q) \Rightarrow \int_0^q \frac{1}{q(t) - \epsilon} dq = - \int_0^t \frac{1}{RC} dt$$

$$\log(\epsilon - q(t)) \Big|_0^q = -\frac{1}{CR} t$$

$$\log \frac{\epsilon - q}{\epsilon - \epsilon} = -\frac{1}{CR} t$$

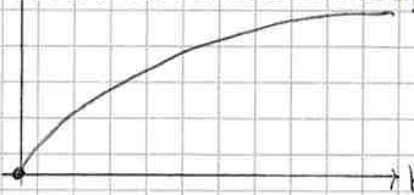
$$q(t) = \epsilon(1 - e^{-\frac{1}{RC}t})$$

$\rightarrow \tau = RC$ = costante capacittiva di tempo

$$q(t) = \epsilon(1 - e^{-\frac{1}{\tau}t})$$

$q(t)$

ϵ

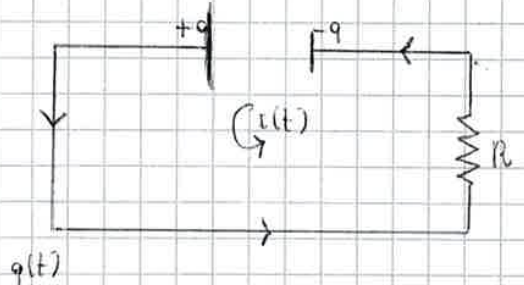


per $t \rightarrow \infty \Rightarrow q(t) = q_{\infty} = \epsilon$ → VALORE STAZIONARIO

soltanto questa carica non può andare, anche se continua a fornire corrente.

Se necessita di maggior corrente, deve cambiare condensatore visto che $q_0 \propto C$ e C dipende solo dalla geometria del condensatore.

- scarica di un condensatore

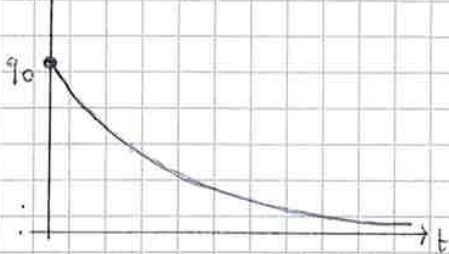


All'istante iniziale: $q(0) = q_0 \rightarrow$ condensatore carico
condizione di Cauchy!

$$\sum_i V_R = 0 \Rightarrow -\frac{q(t)}{C} - R i = 0$$

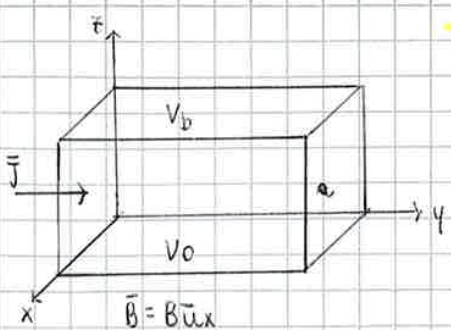
$$-\frac{q(t)}{C} - \frac{dq}{dt} \cdot R = 0 \Rightarrow \int_{q_0}^q \frac{dq}{q} = \int_0^t \frac{R}{C} dt$$

$$q(t) = q_0 e^{-\frac{t}{\tau}} \rightarrow \tau = RC$$



per $t \rightarrow \infty \Rightarrow q_{\infty} \rightarrow 0$

per scaricare completamente un condensatore bisogna aspettare tempo infinito



\vec{j} = vettore densità di corrente
 $= i \hat{u}_y = N e \vec{v}$ per definizione
 ab

$$\vec{i} = \vec{j} \cdot d\vec{s} = \frac{d\vec{q}}{dt} \Rightarrow \vec{j}$$

$$\vec{v} = \frac{i}{ab N e} \hat{u}_y \rightarrow \text{velocità con cui fluisce un elettrone}$$

$$\vec{F} = e \vec{v} \wedge \vec{B} = e \frac{i}{ab N e} \hat{u}_y \wedge B \hat{u}_x = - \frac{e B}{ab N} \hat{u}_z$$

la forza F genera una tensione, come se fosse un campo elettrico ridotto

$\vec{E}_B = \vec{E} \frac{e}{e} \rightarrow$ campo dell'altromotore magnetico = campo elettrico che si crea tra le due facce opposte

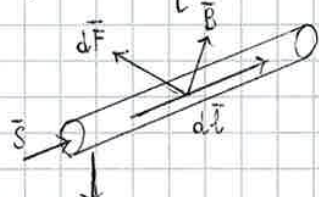
$$\vec{E}_B = \vec{u}_y \wedge \vec{B}$$

la forza i drizza verso il basso ($-\hat{u}_z$) e quindi si ha lo spostamento dei doppi elettroni (anche negativi) verso l'alto che si carica positivamente. La faccia superiore quindi si carica negativamente e di conseguenza quella inferiore sarà positivamente.

Si crea quindi anche una ddp tra le due facce, detta tensione di Hall:

$$V_H = E_H = \int_0^b \vec{E}_B \cdot d\vec{x} = \vec{E}_B \cdot \int_0^b d\vec{x} = - \frac{ibB}{abNe} = - \frac{ib}{Ne} \rightarrow \cancel{\frac{ib}{Ne}} \Rightarrow \cancel{\frac{ib}{Ne}}$$

- forza magnetica su un conduttore



Un conduttore percorso da corrente elettrica (elettroni in movimento con velocità \vec{v}), immerso in un campo magnetico suscita una forza magnetica

conduttore di lunghezza dl e sezione $S \Rightarrow dV = S \cdot dl$

① forza su un elettrone: $\vec{F}_e = -e \vec{v} \wedge \vec{B}$

② forza su tutti gli elettroni nel volume $dV = d\vec{F}_e = \vec{F}_e \cdot N \cdot dV \rightarrow$ n° particelle presenti nel volume

$$d\vec{F}_e = F_e \cdot N \cdot dV =$$

$$\rightarrow \vec{f} = p \cdot \vec{v} = -N e \vec{v} \rightarrow e = -|e|$$

$$= -e \vec{v} \wedge \vec{B} \cdot N \cdot dV =$$

$$\rightarrow d\vec{l} \text{ ha la stessa direzione di } \vec{v} \\ d\vec{l} = dl \cdot \hat{u}_x$$

$$= (-N e \vec{v}) \wedge \vec{B} S dl =$$

$$= \vec{j} \wedge \vec{B} \cdot S dl =$$

$$= S \vec{j} \wedge \vec{B} dl =$$

$$= \vec{I} \wedge \vec{B} dl$$

$$\rightarrow \vec{j} dl = \vec{j} dl \rightarrow \text{identità che vale quando } j \text{ e } dl \text{ hanno la stessa direzione}$$

$$= i dl \wedge \vec{B}$$

$$d\vec{F} = i dl \wedge \vec{B} \rightarrow$$
 legge elementare di Laplace in forma differenziale
 forza su tratto infinitesimo di filo
 non ha segno

- campo magnetico generato da carri:

$$\vec{B} = \frac{\mu_0 q \bar{N} \bar{I}}{4\pi r^3} \quad \text{più analogia con } \vec{E} = \frac{1}{4\pi \epsilon_0} \frac{q \bar{I}}{r^3}$$

$$\vec{B} = \frac{\mu_0 q \bar{N} \bar{I}}{4\pi \epsilon_0 r^3} =$$

$$= \mu_0 \epsilon_0 \bar{N} \bar{I} \frac{1}{4\pi \epsilon_0 r^3}$$

$$= \mu_0 \epsilon_0 \bar{N} \bar{I} \rightarrow \mu_0 \cdot \epsilon_0 = \frac{1}{c^2}$$

Velocità della luce nel vuoto = $3 \cdot 10^8 \text{ m/s}^2$

$$\boxed{\vec{B} = \frac{1}{c^2} \bar{N} \bar{I}}$$

\Rightarrow una carica elettrica nel vuoto in moto, genera contemporaneamente un campo elettrico ed un campo magnetico legati tra loro dalla formula

$$\vec{B} \perp \vec{v}, \vec{E}, \vec{r}$$

\vec{B} è la circonferenza di centro P' e raggio $\overline{PP'}$

Sulla circonferenza il modulo del campo magnetico è costante, ma cambia direzione istante per istante.

Sull'arco di moto di q , $\vec{B} = \vec{0}$

In termini macroscopici:

$$\vec{B}_i = \frac{\mu_0 q \bar{N} \bar{I}}{4\pi r^3}$$

$d\vec{B} = N dV \vec{B}_i =$ numero di cariche presenti nel volume dV : ogni carica crea lo stesso campo

$$= N S \cdot dV \frac{\mu_0 q \bar{N} \bar{I}}{4\pi r^3} =$$

$$= dV S \frac{\mu_0 \cdot N q \bar{N} \bar{I}}{4\pi r^3} =$$

$$= dV S \frac{\mu_0 \cdot \bar{J} \bar{N} \bar{I}}{4\pi r^3} = \quad d\bar{J} = j d\bar{l} \text{ perché paralleli:}$$

$$= S \frac{\mu_0 \cdot j d\bar{l}}{4\pi r^3} =$$

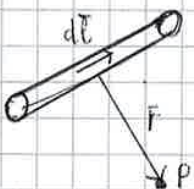
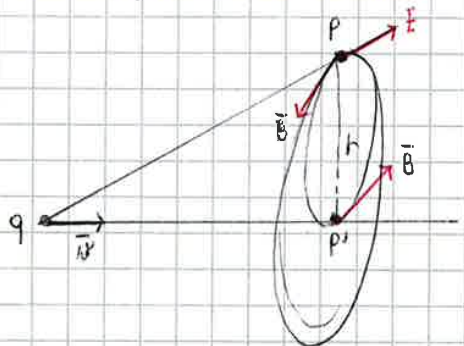
$$= S \cdot j \frac{\mu_0 \cdot d\bar{l} \bar{N} \bar{I}}{4\pi r^3} =$$

$$= i \frac{\mu_0 \cdot d\bar{l} \bar{N} \bar{I}}{4\pi r^3}$$

$$\boxed{d\vec{B} = \frac{\mu_0 \cdot i \cdot d\bar{l} \bar{N} \bar{I}}{4\pi r^3}} \rightarrow \text{legge di Ampere - Laplace}$$

Considerando un conduttore filiforme e ponendo un campo magnetico intorno a:

$$\boxed{\vec{B} = \frac{\mu_0 i}{4\pi} \int_C \frac{d\bar{l} \bar{N} \bar{I}}{r^3}}$$

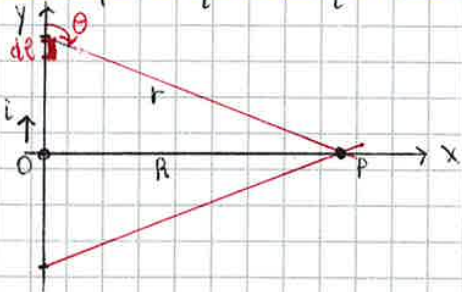


Quindi

$$\bar{B} = \mu_0 i \bar{s} \bar{n} \wedge \bar{B} = \mu_0 i \bar{n} \rightarrow \text{utilizzo la formula del momento meccanico delle forze magnetiche}$$

- campo magnetico generato da una carica in moto

- campo magnetico generato da un conduttore lineare finito percorso da una corrente i



Sceglio come riferimento il punto medio O del conduttore.
l'elemento

Calcolo prima il contributo sul tratto superiore
a) prendo un elemento $d\bar{l}$

$$d\bar{B} = \frac{\mu_0 i}{4\pi} \frac{dl \wedge \bar{r}}{r^3} \rightarrow \text{legge di Ampere-Laplace}$$

$$\rightarrow d\bar{l} \wedge \bar{r} = dl \cdot r \cdot \sin \theta (-\bar{u}_z) = -dl r \sin \theta \bar{u}_z = dl r \sin \theta \bar{u}_y \quad (\text{Ponendo } \psi \bar{u}_y = -\bar{u}_z)$$

~~Infatti $d\bar{l} \wedge \bar{u}_y \wedge \bar{u}_{xy} = -dl \sin \theta$~~

c'è il segno Θ perché la rotazione da $d\bar{l}$ verso \bar{r} avviene in senso orario

Quindi:

$$d\bar{B} = \frac{\mu_0 i}{4\pi} \frac{dl \sin \theta \bar{u}_y}{r^3}$$

Dopo ora sommiamo tutti gli infinitesimi elementi $d\bar{l}$

$$\bar{B} = \int_0^A d\bar{B} = \int_{\frac{\pi}{2}}^{\theta_1} d\bar{B} \quad \text{infatti } 0 \leq \theta \leq \theta_1 \quad \frac{\pi}{2} \leq \theta \leq \theta_1^+$$

Per la geometria del problema:

~~Per la~~ \Rightarrow Per la

sen

Per la geometria del problema

$$\sin \theta = \sin(\pi - \theta) = \frac{R}{r}$$

$$\Rightarrow \frac{1}{r^2} = \frac{\sin^2 \theta}{R^2}$$

$$\tan \theta = -\tan(\pi - \theta) = -\frac{R}{r}$$

$$\Rightarrow \frac{1}{\tan \theta} = \frac{R}{\sin^2 \theta}$$

per esprimere la funzione integrando con una sola variabile

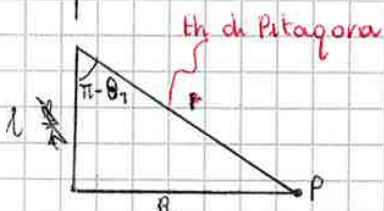
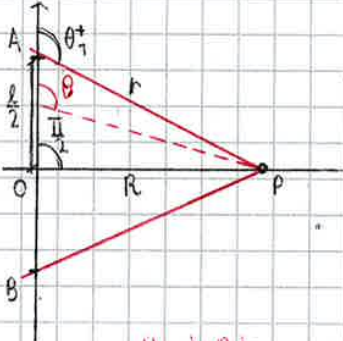
$$\frac{1}{\tan \theta} \rightarrow -\frac{1}{\sin^2 \theta}$$

Quindi:

$$d\bar{B} = \frac{\mu_0 i}{4\pi} \frac{dl \sin \theta \bar{u}_y}{r^3} = \frac{\mu_0 i}{4\pi} \frac{dl \cos^2 \theta}{R^2} \frac{dl}{\sin^2 \theta} \sin \theta \bar{u}_y = \frac{\mu_0 i}{4\pi R} \sin \theta d\theta \bar{u}_y$$

Quindi:

$$\bar{B} = \int_{\frac{\pi}{2}}^{\theta_1} d\bar{B} = -\bar{u}_y \frac{\mu_0 i}{4\pi R} \cos \theta_1$$



th di Pitagora

- legge di Ampere - Maxwell = correlazione tra campo magnetico e le sue sorgenti dimostrazione:

considero un filo indefinito ultrathin che percorre da una corrente i e considero una superficie qualsiasi chiusa chiusa percorso in senso antiorario

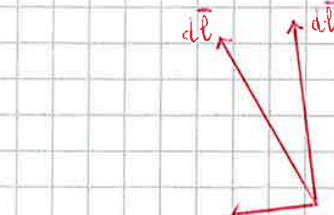
calcolo la circolazione del campo magnetico lungo la curva T

$$\oint_T \vec{B} \cdot d\vec{l}$$

il campo magnetico \vec{B} è tangente alla linea di campo magnetico

$$\oint_T \vec{B} \cdot d\vec{l} = \rightarrow$$

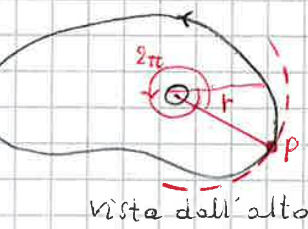
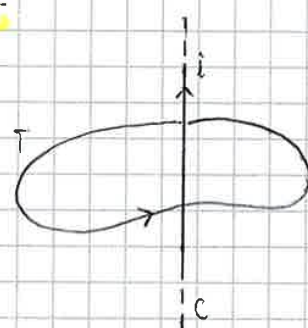
la linea di campo magnetico creata dal conduttore e la circonferenza che passa per P e ha centro nel conduttore



$$\vec{B} \perp d\vec{l}'' + d\vec{l} = d\vec{l}' + d\vec{l}''$$



$$d\vec{l}' = r d\varphi$$



vista dall'alto

$$= \oint_T \vec{B} (d\vec{l}' + d\vec{l}'') =$$

$$= \oint_T \vec{B} d\vec{l}' = \rightarrow B = \frac{\mu_0 i}{2\pi r} = \text{legge di B-S, campo generato da un filo indefinito}$$

$$= \frac{\mu_0 i}{2\pi r} \int_T d\varphi = \int_T d\varphi = 2\pi \text{ poiché la curva è chiusa.}$$

$$\Rightarrow \oint_T \vec{B} \cdot d\vec{l} = \mu_0 i \rightarrow \text{legge di Ampere se } T \text{ è chiusa e il conduttore è all'interno}$$

i = corrente concatenata alla curva

\rightarrow Se ci sono esterni alla curva considerata

$$\oint_T \vec{B} \cdot d\vec{l} = \cancel{\oint_{T'} \vec{B} (d\vec{l}'^+ + d\vec{l}'^-)} \rightarrow \text{dimostrazione visto sullo}$$

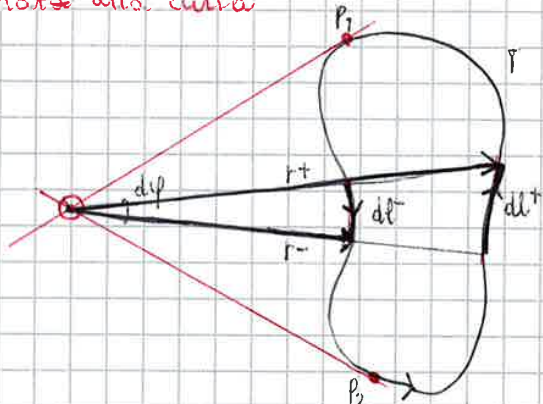
T' $\neq P_1, P_2$

$$= \oint_{T'} \vec{B} (d\vec{l}_{||}^+ + d\vec{l}_{||}^T + d\vec{l}_{||}^- + d\vec{l}_{||}^T) \rightarrow \text{decompongo } d\vec{l}' \cdot d\vec{l}^-$$

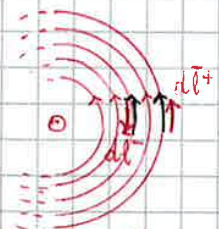
$$= \oint_{T'} (\vec{B}^+ d\vec{l}_{||}^+ - \vec{B}^- d\vec{l}_{||}^-) \rightarrow B = \frac{\mu_0 i}{2\pi r} \text{ (legge di B-S)}$$

$$d\vec{l} = r d\varphi$$

$$= \oint_{T'} \left(\frac{\mu_0 i}{2\pi r^+} r^+ d\varphi - \frac{\mu_0 i}{2\pi r^-} r^- d\varphi \right) = \int_{T'} \vec{0} \cdot d\vec{\varphi} = \vec{0}$$



vista dall'alto



Quindi se ci sono esterni alla curva considerata, il valore dell'integrale è 0

N.B.: visto che la curva è arbitraria, conviene scegliere quella per cui il campo \vec{B} ha modulo costante e sempre con lo stesso verso

$$\begin{cases} \vec{B}, d\vec{l}_1^+ \perp \vec{B}, d\vec{l}_1^+ \\ \vec{B}, d\vec{l}_1^- \perp \vec{B}, d\vec{l}_1^- \\ \vec{B}, d\vec{l}_2^+ \perp \vec{B}, d\vec{l}_2^+ \\ \vec{B}, d\vec{l}_2^- \perp \vec{B}, d\vec{l}_2^- \end{cases}$$

Quindi

$$\bar{\nabla} \cdot (\bar{\nabla} \wedge \bar{B}) = 0 \Rightarrow \bar{\nabla} \mu_0 \bar{j} = 0 \Rightarrow \bar{\nabla} \bar{j} = 0 \rightarrow \text{condizione per l'equazione A-M}$$

In condizioni stazionarie, poiché $\frac{\partial \rho}{\partial t} = 0$ ($\rho = \text{cost}$), si ha $\bar{\nabla} \cdot \bar{j} = 0$

In condizioni dinamiche:

$$\rightarrow \text{eq di continuità: } \frac{\partial \rho}{\partial t} + \bar{\nabla} \cdot \bar{j} = 0$$

$$\rightarrow \text{legge di Gauss: } \bar{\nabla} \cdot \bar{E} = \frac{1}{\epsilon_0} \rho$$

$$\bar{\nabla} \cdot \bar{E} = \frac{1}{\epsilon_0} \rho$$

$$\epsilon_0 \bar{\nabla} \cdot \bar{E} = \rho \rightarrow \text{diviso ambo i membri rispetto al tempo} \quad \frac{\partial}{\partial t} (\epsilon_0 \bar{\nabla} \cdot \bar{E}) = \frac{\partial \rho}{\partial t}$$

$$\epsilon_0 \bar{\nabla} \frac{\partial E}{\partial t} = \frac{\partial \rho}{\partial t}$$

commutano perché la variabile temporale e
variabili spaziali ($\bar{\nabla}$) sono indipendenti

\rightarrow combino ① e ②

$$\frac{\partial \rho}{\partial t} + \bar{\nabla} \cdot \bar{j} = 0$$

$$\bar{\nabla} \cdot \bar{j} + \epsilon_0 \bar{\nabla} \frac{\partial E}{\partial t} = 0$$

$$\bar{\nabla} \left(\bar{j} + \epsilon_0 \frac{\partial E}{\partial t} \right) = 0 \rightarrow \text{ma } 0 = \bar{\nabla} \cdot (\bar{\nabla} \wedge \bar{A})$$

$$\bar{\nabla} \left(\bar{j} + \epsilon_0 \frac{\partial E}{\partial t} \right) = \bar{\nabla} \left(\bar{\nabla} \wedge \bar{A} \right) \quad A = \text{funzione vettoriale generica}$$

$$\bar{j} + \epsilon_0 \frac{\partial E}{\partial t} = \bar{\nabla} \wedge \bar{A} \rightarrow \text{moltiplico per } \mu_0 \text{ ambo i membri}$$

$$\mu_0 \bar{j} + \epsilon_0 \mu_0 \frac{\partial E}{\partial t} = \bar{\nabla} \wedge \mu_0 \bar{A}$$

$$\text{In condizioni stazionarie } \cancel{\frac{\partial E}{\partial t}} = 0, \text{ quindi } \mu_0 \bar{j} = \bar{\nabla} \wedge \mu_0 \bar{A}.$$

$$\text{No abbiamo dimostrato che in c. stat: } \bar{\nabla} \wedge \bar{B} = \mu_0 \bar{j} \Rightarrow \text{necessariamente } \bar{\nabla} \wedge \mu_0 \bar{A} = \bar{\nabla} \wedge \bar{B}$$

Quindi

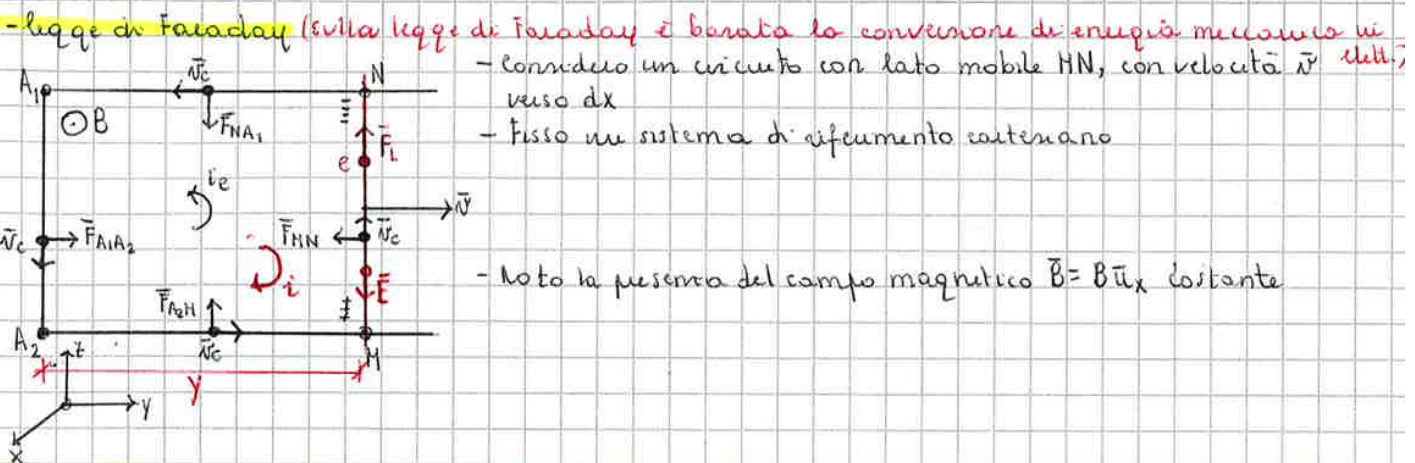
$$\bar{\nabla} \wedge \bar{B} = \mu_0 \bar{j} + \epsilon_0 \mu_0 \frac{\partial E}{\partial t} \rightarrow \text{th. di A-M in condizioni dinamiche}$$

$$\text{Ora: } \bar{\nabla} \wedge \bar{B} = \mu_0 \bar{j} + \mu_0$$

Conclusione: le sorgenti del campo magnetico non sono solo le correnti ma anche i campi elettrici variabili nel tempo

infatti se $\bar{j} = 0$ (non ci sono particelle di corrente):

$$\bar{\nabla} \wedge \bar{B} = \mu_0 \epsilon_0 \frac{\partial E}{\partial t} \rightarrow \text{eq di A-M in condizioni dinamiche e in assenza di sorgenti.}$$



Tuttavia il lato mobile MN si sposta verso destra, gli elettroni liberi di conduzione sono soggetti a forze di Lorentz perché sono carichi in movimento in presenza di campo magnetico.

Calcolo la forza di Lorentz per una generica carica presente su MN, dovuta alla presenza di \bar{v}

$$F_l = -e\bar{v} \wedge \vec{B} = -ev_c B (\hat{u}_y \wedge \hat{u}_x) = +ev_c B \hat{u}_z \rightarrow \text{la forza magnetica che sente un elettrone presente sul lato MN è una forza positiva, ovvero è una forza che spinge verso su le cariche}$$

Quindi dato che ogni carica (elettrone) viene spinta verso su, vicino a M si genera uno mancato di elettroni.

L'eccesso di elettroni si mette in movimento sul circuito percorrendo il tratto NA₁, A₁A₂ e A₂M e quindi si compensa la mancanza di cariche. Per riportare il percorso delle cariche.

Il lato mobile quindi funge da pompa di elettroni ed è quindi l'unico elemento attivo del circuito: possa dunque immaginalo come generatore di tensione.

- \bar{v}_c è la velocità di corrente che percorre ciascun elettrone mentre compie il percorso all'interno del cerchio NA₁, A₂M

Su ogni tratto del circuito vengono quindi avviate delle forze (di Lorentz) dovute alla presenza di \bar{v}_c .

Calcolo la forza di Lorentz per una generica carica presente su ogni lato del circuito, dovuta alla presenza di \bar{v}_c

$$NA_1: \vec{F}_{NA_1} = -e\bar{v}_c \wedge \vec{B} = -ev_c B (-\hat{u}_y \wedge \hat{u}_x) = -ev_c B \hat{u}_z$$

$$A_1A_2: \vec{F}_{A_1A_2} = -e\bar{v}_c \wedge \vec{B} = -ev_c B (-\hat{u}_z \wedge \hat{u}_x) = +ev_c B \hat{u}_y$$

$$A_2M: \vec{F}_{A_2M} = -e\bar{v}_c \wedge \vec{B} = -ev_c B (\hat{u}_y \wedge \hat{u}_x) = +ev_c B \hat{u}_z$$

$$MN: \vec{F}_{MN} = -e\bar{v}_c \wedge \vec{B} = -ev_c B (\hat{u}_z \wedge \hat{u}_x) = -ev_c B \hat{u}_y$$

In ogni caso, le forze che si vengono a creare sono \perp al conduttore, \Rightarrow

Per questo, la velocità \bar{v}_c non crea ulteriori forze intatte su ogni lato.

$$\text{fem} = E = \int_C \vec{E} \cdot d\vec{l} = \int_{NA_1}^M (-ev_c B \hat{u}_y \cdot d\hat{u}_x) = 0$$

mentre fatto su MN vale su ogni lato.

- quantifico il campo elettrico indotto:

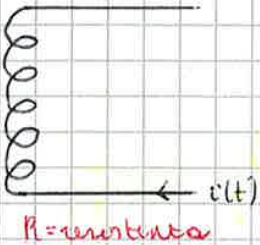
$$\vec{E} = \frac{\vec{B}}{-e} = \frac{B \hat{u}_z}{-e} = +v_c B (\hat{u}_y \wedge \hat{u}_x) = N \hat{u}_y \wedge B \hat{u}_x = \bar{v} \wedge \vec{B} \rightarrow \text{campo elettrico ridotto solo sul lato MN è negativo infatti la corrente è pensata come flusso di cariche positive ma poiché si ha un flusso di cariche negative (in senso antiorario) quello delle cariche positive sarà in senso contrario, quindi è negativo.}$$

Risultato E nel modo seguente:

$$\vec{E} = -v_c B \hat{u}_z = NB (\hat{u}_y \wedge \hat{u}_x) = N \hat{u}_y \wedge B \hat{u}_x = \bar{v} \wedge \vec{B}$$

- **autoinduzione** indefinito solenoidale
Immagino un circuito γ formato da una conduttore
Si hanno i seguenti fatti:

- 1) $i(t)$ circola nel γ (circuiti) e crea una \vec{B}
- 2) \vec{B} investe γ e crea una fem indotta ϵ
- 3) la fem indotta è, secondo la legge di Faraday, responsabile di una conduttore autoindotta $i_L(t)$



Infatti:

1) posso determinare B

$$\vec{B}(t) = \mu_0 n i(t) \rightarrow \text{campo } B \text{ al centro di un solenoide indefinito nel vuoto}$$

Inoltre per un solenoide ~~raffino~~ finito $B = \mu_0 n i \frac{d}{\sqrt{d^2 + R^2}}$ (per $d \gg R$ dunque $\mu_0 n i$)

\rightarrow n è spire per unità di lunghezza

$$2) \phi(\vec{B}) = N \cdot S \cdot B(t) \rightarrow N = \text{numero di spire}$$

$S = \text{superficie}$

$$\phi(B) = N \pi r^2 \cdot B(t) =$$

$$= N \pi r^2 \cdot \mu_0 n i(t) = N \pi r^2 \cdot \mu_0 \frac{N}{l} i(t) =$$

$$= \frac{N^2 r^2 \pi}{l} \mu_0 \cdot i(t) \rightarrow \text{flusso}$$

$$\rightarrow \epsilon(t) = - \frac{\partial \phi(\vec{B})}{\partial t} = - \mu_0 \frac{N^2 r^2 \pi}{l} \frac{d}{dt} i(t) \rightarrow \epsilon = \text{fem} \neq 0 \Leftrightarrow i \text{ non varia nel tempo}$$

3) bolla legge di Ohm: $V = E = \text{fem} = R i$

$$[i_L(t) = \frac{\epsilon(t)}{R}] = - \left(\frac{\mu_0 \pi r^2 N^2}{l} \frac{d}{dt} i(t) \right)$$

definisco l'induttanza L

Per il caso di un solenoide $L = \frac{\mu_0 \pi r^2 N^2}{l} = \frac{\mu_0}{l} K$

In generale L è composto sempre dai due fattori:

$$L = \frac{\mu_0 \pi r^2 N^2}{l} = \mu_0 \pi r^2 n^2 l = \mu_0 l \cdot S \cdot n^2$$

$\propto L = \text{cost}$

$$\rightarrow \epsilon = - \frac{d}{dt} (L i) = \frac{d}{dt} (L i) \rightarrow \text{fem per autoinduzione}$$

$K \rightarrow$ dipende solo dalla geometria del circuito

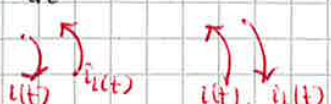
$$\rightarrow i_L(t) = - \frac{1}{L} \frac{d(i_L)}{dt} \rightarrow \text{conduttore autoindotto}$$

Note che:

$$\frac{di_L}{dt} > 0 \Rightarrow i_L(t) \text{ cresce} \Rightarrow i_L(t) < 0$$

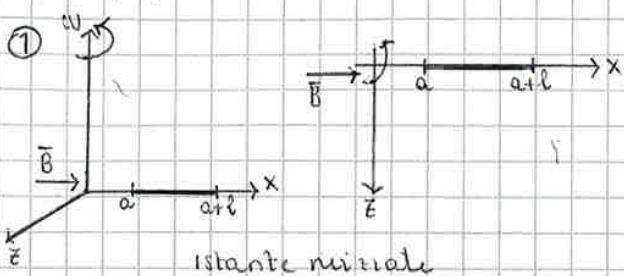
\Rightarrow la conduttore autoindotto si oppone alla variazione

$$\frac{di_L}{dt} < 0 \Rightarrow i_L(t) \text{ decresce} \Rightarrow i_L(t) > 0$$



PERA ESERCIZI: $B \rightarrow \phi \rightarrow \int_{i_L}^L$

- conversione di energia meccanica in elettrica
Esempio perimetro



$$\bar{F} = q\bar{v} \wedge \bar{B}$$

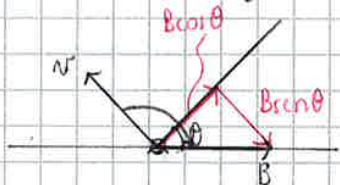
$$\bar{v} \wedge \bar{B} = v \cdot B \sin\left(\frac{\pi}{2} + \theta\right) =$$

$$= vB \cos(\theta)$$

$$\bar{v} \wedge \bar{B} = \bar{v} \bar{u}_x \wedge \bar{B} \bar{u}_x =$$

$$= vB \sin\left(\frac{\pi}{2} + \theta\right)(\bar{u}_y) = -vB \cos\theta \bar{u}_y \Rightarrow \bar{F} = -qvB \cos\theta \bar{u}_y$$

oppure decompongo B in componenti || e ⊥ all'asta



$$\Rightarrow \bar{v} \wedge \bar{B} = qvB \cos\theta \bar{u}_y$$

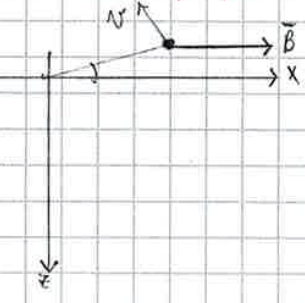
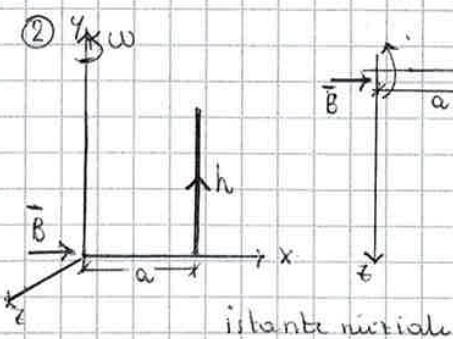
da \bar{v} verso \bar{B} faccio una rotazione in senso orario
giungi negativa

$$\bar{E} = \frac{q\bar{v} \wedge \bar{B}}{q} = \bar{v} \wedge \bar{B} = -vB \cos\theta \bar{u}_y$$

$$N = w r$$

$$w = \frac{N}{r}$$

$$\bar{E} = \oint \bar{E} \cdot d\bar{l} = \int \bar{E} dy \cdot E \bar{u}_x \cdot dl \bar{u}_y = 0 \rightarrow \text{non si genera tensione elettrica, dato che il campo elettrico è perpendicolare al conduttore}$$



$$w = \frac{d\theta}{dt} \quad \int d\theta = \int w dt \Rightarrow \theta = \int w dt$$

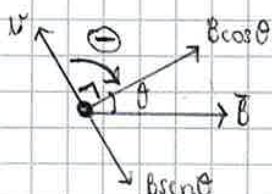
$$N = wa$$

$$\bar{F} = q\bar{v} \wedge \bar{B} =$$

$$\bar{E} = \bar{v} \wedge \bar{B} = \bar{v} \bar{u}_x \wedge \bar{B} \bar{u}_x =$$

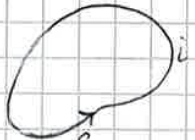
$$= -vB \cos\theta \bar{u}_y$$

rotazione oraria da \bar{v} verso \bar{B}



- coefficiente di autoinduzione o induttanza
Ricordo:

$$d\bar{B} = \frac{\mu_0 i}{4\pi} \frac{d\bar{N}\bar{F}}{r^3} \rightarrow 1^{\circ} \text{ legge di Laplace in forma differenziale}$$



$$\bar{B} = \frac{\mu_0 i}{4\pi} \int_C \frac{d\bar{N}\bar{F}}{r^3} \rightarrow 1^{\circ} \text{ legge di Laplace in forma integrale}$$

$$\phi = \int_S \bar{B} d\bar{o} \rightarrow \text{flusso del campo magnetico}$$

Se il flusso del campo magnetico è variabile, allora vale la formula seguente:

$$\varepsilon = -\frac{\partial \phi}{\partial t} \rightarrow \begin{matrix} \text{dalla} \\ \text{legge di Faraday} \end{matrix}$$

$$\Rightarrow \varepsilon = -\frac{\partial \phi}{\partial t} = -\frac{\partial}{\partial t} \int_S \bar{B} d\bar{o} =$$

$$= -\frac{\partial}{\partial t} \int_S \left(\frac{\mu_0 i}{4\pi} \int_C \frac{d\bar{N}\bar{F}}{r^3} \right) d\bar{o} \rightarrow \begin{matrix} \text{l'unico varabile tempo-dipendente è la corrente} \\ \text{non dipende dalla geometria del} \\ \text{piano?} \end{matrix}$$

$$\Rightarrow \varepsilon = - \int_S \left(\frac{\mu_0 i}{4\pi} \int_C \frac{d\bar{N}\bar{F}}{r^3} \frac{di}{dt} \right) d\bar{o} = - \frac{\mu_0}{4\pi} \int_C \left(\int_S \frac{d\bar{N}\bar{F}}{r^3} \frac{di}{dt} \right) d\bar{o} = - \frac{di}{dt} \frac{\mu_0}{4\pi} \int_C \left(\int_S \frac{d\bar{N}\bar{F}}{r^3} \right) d\bar{o}$$

definisco $L = \frac{\mu_0}{4\pi} \int_C \left(\int_S \frac{d\bar{N}\bar{F}}{r^3} \right) d\bar{o} \rightarrow \text{coefficiente di induzione o induttanza}$

$$\Rightarrow \varepsilon = -L \cdot \frac{di}{dt} \rightarrow \text{relazione tra } \varepsilon \text{ e induttanza}$$

Essendo $\varepsilon = -\frac{\partial \phi}{\partial t} \Rightarrow -\frac{\partial \phi}{\partial t} = -L \frac{di}{dt} \Rightarrow \int \frac{\partial \phi}{\partial t} dt = +L \int \frac{di}{dt} dt \Rightarrow \phi = Li$

$$\Rightarrow L = \frac{\phi}{i} \rightarrow \text{relazione tra flusso e induttanza}$$

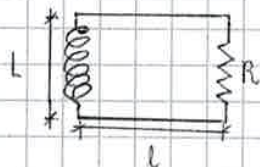
- esempi:

• calcolo dell'induttanza per un solenoido

Il campo magnetico è diverso da 0 solo all'interno del solenoido dove vale:

$$B = \mu_0 n i \rightarrow \text{campo } B \text{ al centro di uno solenoide rettilineo indifinito}$$

$n = \text{n}^{\circ} \text{ spire/m}$



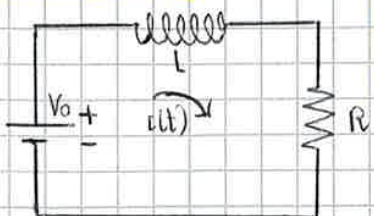
$$\phi = S \cdot B \rightarrow \text{def di flusso trascurando gli effetti al bordo donut: alto, lunghezza finita}$$

$$\phi = N \cdot S \cdot B \rightarrow \text{considerato il contributo di una sola spira} \stackrel{S_1}{\text{e lo moltiplica per il n}^{\circ} \text{ di spire totali}}$$

$$= N \cdot S_1 \cdot \mu_0 n i = \mu_0 n^2 l S_1 \cdot i = \mu_0 n^2 N \cdot i$$

$$\text{Ma in fondo } \phi = Li$$

$$\Rightarrow L = \mu_0 n^2 N \rightarrow \text{induttanza di un solenoido}$$

Circuito RL

la corrente circola nello stesso senso per tutte le carreggi ferite "soffiate", ovvero la corrente è un flusso di carica positiva

Applico la 2° legge di Kirchoff al circuito: $\sum_k V_k = 0$

$$V_o + \epsilon - R_i = 0$$

Accordo

$$\text{RESISTORE} \Rightarrow V = -R_i$$

$$\text{CONDENSATORE} \Rightarrow V = \frac{q}{C}$$

$$\epsilon \text{ del solenoidi} \Rightarrow \epsilon = -L \frac{di}{dt}$$

$$\Rightarrow V_o - L \frac{di}{dt} - R_i = 0 \rightarrow \text{eq differenziale del primo ordine}$$

$$\frac{di}{dt} = \frac{1}{L} (V_o - R_i)$$

$$\frac{di}{V_o - R_i} = \frac{1}{L} dt \rightarrow -\frac{1}{R} \log(V_o - R_i) = \frac{1}{L} t + \text{cost}$$

$$\Rightarrow \log(V_o - R_i) = -\frac{R}{L} t + \text{cost}$$

$$\Rightarrow \log(V_o - R_i) = -\frac{R}{L} t + R_i \text{cost}$$

$$\Rightarrow V_o - R_i = e^{-\frac{R}{L} t}$$

$$\Rightarrow i =$$

$$\Rightarrow V_o - R_i = m t \cdot e^{-\frac{R}{L} t}$$

$$\Rightarrow i(t) = \frac{1}{R} (V_o - c e^{-\frac{R}{L} t})$$

$$\Rightarrow i(t) = \frac{V_o}{R} (1 - e^{-\frac{R}{L} t})$$

$$\rightarrow \text{pongo } I = \frac{1}{R}$$

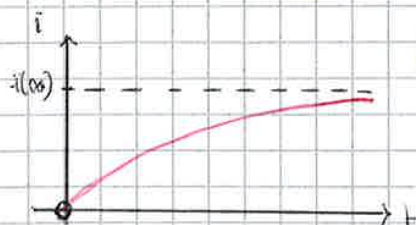
$$\rightarrow e^{-\frac{R}{L} t + \text{cost}} = e^{\text{cost}} \cdot e^{-\frac{R}{L} t} \rightarrow c \cdot e^{-\frac{R}{L} t}$$

\rightarrow impongo la condizione di costante:
 $t=0 \Rightarrow i(0)=0$

$$\Rightarrow V_o + c = 0 \Rightarrow c = -V_o$$

$i(\infty) = \frac{V_o}{R} \rightarrow$ all'infinito gli effetti dell'induttore non sono presenti

stationarità



ONDE ELETTRON MAGNETICHE pag 119

(A)

Ricordo:

$$1) \int_{\Sigma} \vec{E} \cdot d\vec{\sigma} = \frac{Q}{\epsilon_0}$$

→ eq di Gauss

$$2) \int_{\Sigma} \vec{B} \cdot d\vec{\sigma} = 0$$

→ legge di Faraday

$$3) \int_{\Gamma} \vec{E} \cdot d\vec{l} = -\frac{\partial \phi(\vec{B})}{\partial t}$$

→ legge di Ampere - Maxwell

$$4) \int_{\Gamma} \vec{B} \cdot d\vec{l} = \mu_0 i + \mu_0 \epsilon \frac{\partial \phi(\vec{E})}{\partial t}$$

$$1) \vec{\nabla} \cdot \vec{E} = \frac{\rho}{\epsilon_0}$$

$$2) \vec{\nabla} \cdot \vec{B} = 0$$

→ eq di Maxwell (condizioni non stazionarie)

$$3) \vec{\nabla} \wedge \vec{E} = -\frac{\partial \vec{B}}{\partial t}$$

$$4) \vec{\nabla} \wedge \vec{B} = \mu_0 \vec{j} + \mu_0 \epsilon \frac{\partial \vec{E}}{\partial t}$$

$$1) \vec{\nabla} \cdot \vec{E} = 0$$

$$2) \vec{\nabla} \cdot \vec{B} = 0$$

→ eq di Maxwell (condizioni stazionarie)

$$3) \vec{\nabla} \wedge \vec{E} = -\frac{\partial \vec{B}}{\partial t}$$

eq di Maxwell libere (anima di sorgenti)

$$4) \vec{\nabla} \wedge \vec{B} = \mu_0 \epsilon \frac{\partial \vec{E}}{\partial t}$$

(B) Esplicito la natura reticolare delle 4 eq di Maxwell sotto le seguenti ipotesi:

1) considero il campo libero (senza sorgenti)

2) immagino la sorgente che crea il campo magnetico, molto lontana.

la sorgente emette onde in una regione di spazio dove non ci sono sorgenti.

Il campo elettrico e magnetico dipendono solo dalla posizione particolare nell'asse x.
→ si parla di onde pianeSe un piano è \perp all'asse x → il campo elettrico e magnetico dipendono solo dalla variabile x e dalla variabile t (tempo)

Un'onda piana è un'onda descritta da una funzione di perturbazione inviata nello spazio

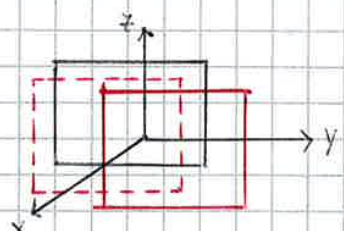
→ nelle 4 eq di Maxwell, "sopravvivono solo i termini che dipendono da x, ovvero i termini noti come variazione di t".
Quindi:

$$1) \vec{\nabla} \cdot \vec{E} = \left(\frac{\partial E_x}{\partial x} + \frac{\partial E_y}{\partial y} + \frac{\partial E_z}{\partial z} \right) = 0$$

 $\frac{\partial E_y}{\partial y} = 0$ non c'è variazione lungo y e z

$$\vec{\nabla} \cdot \vec{E} = 0 \Rightarrow \frac{\partial E_x}{\partial x} = 0$$

$$2) \vec{\nabla} \cdot \vec{B} = \left(\frac{\partial B_x}{\partial x} + \frac{\partial B_y}{\partial y} + \frac{\partial B_z}{\partial z} \right) = 0 \Rightarrow \frac{\partial B_x}{\partial x} = 0$$



① missocio le eq. differenziali, aumentandone l'ordine

* Ricordo che per il th di Shantur: $\frac{\partial^2 f}{\partial x \partial t} = \frac{\partial^2 f}{\partial t \partial x}$ (salvo alcune ipotesi)

$\rightarrow E_z$ compare in 1) e 3)

Dunque 1) rispetto a t e 3) rispetto ad x

$$1) \frac{\partial}{\partial t} \left(\frac{\partial E_z}{\partial x} \right) = \frac{\partial}{\partial t} \left(\frac{\partial B_y}{\partial t} \right) \Rightarrow \frac{\partial^2 E_z}{\partial t \partial x} = \frac{\partial^2 B_y}{\partial t^2}$$

$$3) \frac{\partial}{\partial x} \left(\frac{\partial E_z}{\partial t} \right) = \frac{\partial}{\partial x} \left(\frac{1}{\mu \epsilon} \frac{\partial B_y}{\partial x} \right) \stackrel{(1)*}{\Rightarrow} \frac{\partial^2 E_z}{\partial x \partial t} = \frac{1}{\mu \epsilon} \frac{\partial^2 B_y}{\partial x^2} \Rightarrow \frac{\partial^2 B_y}{\partial x^2} = \mu \epsilon \frac{\partial^2 B_y}{\partial t^2}$$

$\rightarrow E_y$ compare in 2) e 4)

Dunque 2) rispetto a t e 4) rispetto ad x

$$2) \frac{\partial}{\partial t} \left(\frac{\partial E_y}{\partial x} \right) = - \frac{\partial}{\partial t} \left(\frac{\partial B_z}{\partial t} \right) \Rightarrow \frac{\partial^2 E_y}{\partial t \partial x} = - \frac{\partial^2 B_z}{\partial t^2}$$

$$4) \frac{\partial}{\partial x} \left(\frac{\partial E_y}{\partial t} \right) = - \frac{\partial}{\partial x} \left(\frac{1}{\mu \epsilon} \frac{\partial B_z}{\partial x} \right) \stackrel{(1)*}{\Rightarrow} \frac{\partial^2 E_y}{\partial x \partial t} = - \frac{1}{\mu \epsilon} \frac{\partial^2 B_z}{\partial x^2} \Rightarrow \frac{\partial^2 B_z}{\partial x^2} = \mu \epsilon \frac{\partial^2 B_z}{\partial t^2}$$

$\rightarrow B_y$ compare in 1) e 3)

Dunque 1) rispetto a x e 3) rispetto a t

$$1) \frac{\partial}{\partial x} \left(\frac{\partial E_y}{\partial x} \right) = \frac{\partial}{\partial x} \left(\frac{\partial B_y}{\partial t} \right) \Rightarrow \frac{\partial^2 B_y}{\partial x \partial t} = \frac{\partial^2 E_y}{\partial x^2}$$

$$3) \frac{\partial}{\partial t} \left(\frac{\partial E_y}{\partial t} \right) = \frac{\partial}{\partial t} \left(\frac{1}{\mu \epsilon} \frac{\partial B_y}{\partial x} \right) \stackrel{(1)}{\Rightarrow} \frac{\partial^2 B_y}{\partial t \partial x} = \mu \epsilon \frac{\partial^2 E_y}{\partial t^2} \Rightarrow \frac{\partial^2 E_y}{\partial x^2} = \mu \epsilon \frac{\partial^2 E_y}{\partial t^2}$$

$\rightarrow B_z$ compare in 2) e 4)

Dunque 2) rispetto a x e 4) rispetto a t

$$2) \frac{\partial}{\partial x} \left(\frac{\partial E_y}{\partial x} \right) = \frac{\partial}{\partial x} \left(- \frac{\partial B_z}{\partial t} \right) \Rightarrow \frac{\partial^2 B_z}{\partial x \partial t} = - \frac{\partial^2 E_y}{\partial x^2}$$

$$4) \frac{\partial}{\partial t} \left(\frac{\partial E_y}{\partial t} \right) = - \frac{\partial}{\partial t} \left(\frac{1}{\mu \epsilon} \frac{\partial B_z}{\partial x} \right) \stackrel{(1)}{\Rightarrow} \frac{\partial^2 B_z}{\partial t \partial x} = - \mu \epsilon \frac{\partial^2 E_y}{\partial t^2} \Rightarrow \frac{\partial^2 E_y}{\partial x^2} = \mu \epsilon \frac{\partial^2 E_y}{\partial t^2}$$

Quindi:

$$1) \frac{\partial^2 B_y}{\partial x^2} = \mu \epsilon \frac{\partial^2 B_y}{\partial t^2}$$

$$2) \frac{\partial^2 B_z}{\partial x^2} = \mu \epsilon \frac{\partial^2 B_z}{\partial t^2}$$

$$3) \frac{\partial^2 E_y}{\partial x^2} = \mu \epsilon \frac{\partial^2 E_y}{\partial t^2}$$

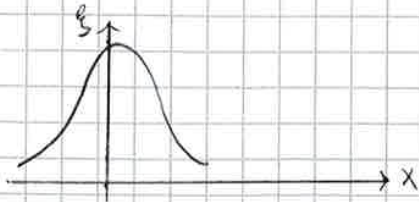
$$4) \frac{\partial^2 E_z}{\partial x^2} = \mu \epsilon \frac{\partial^2 E_z}{\partial t^2}$$

\rightarrow hanno la stessa forma: $\frac{\partial^2 \xi}{\partial x^2} = \mu \epsilon \frac{\partial^2 \xi}{\partial t^2}$ con $\xi = E_y, E_z, B_y, B_z$

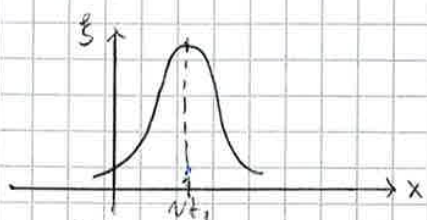
\rightarrow soluz. fisica della soluzione $\xi(x \pm vt)$

Fatto

Suppongo che all'istante iniziale ($t=0$), $\xi(x) = e^{-x^2}$

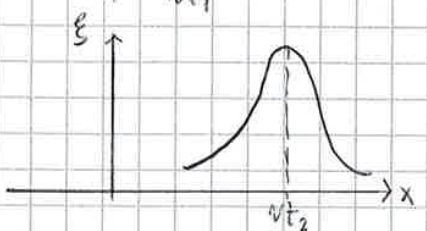


$$\rightarrow t=0 \Rightarrow \xi(w) = \xi(x) = e^{-x^2}$$



$$\rightarrow t>0, t_1, \xi(w) = \xi(x-vt_1) = e^{-(x-vt_1)^2}$$

punto di massimo: $\sqrt{v} t_1, x = vt_1$



$$\rightarrow t>0, t_2 > t_1, \xi(w) = \xi(x-vt_2) = e^{-(x-vt_2)^2}$$

punto di massimo: $x = vt_2$

Quindi, ricordando che l'onda si propaga lungo l'asse x , al tempo $t=t_0$ e nel punto $x=x_0$ la funzione vale $\xi(x_0 - vt_0)$ e tale valore vale per ogni $t > t_0$

$\Rightarrow \xi(x-vt)$ rappresenta un'onda piano piana progressiva perché mi sposta verso le $x > 0$ $\forall t > t_0$.

$\Rightarrow \xi(x+vt)$ rappresenta un'onda piano regresiva perché mi sposta verso le $x < 0$

In entrambi i casi, la traslazione è rapida, ovvero la forma della funzione si mantiene inalterata durante il moto di propagazione.

(E) le eq. 1), 2), 3), 4) del punto (D) hanno la forma dell'eq. delle onde, quindi il campo elettrico e magnetico hanno una natura ondosa

e la natura

la misura dei campi all'istante iniziale è sufficiente per conoscere il valore dei campi a tutti gli istanti successivi (data la natura ondosa)

$$\vec{E} = E_y(x-vt) \hat{u}_y + E_z(x+vt) \hat{u}_z$$

$$\vec{B} = B_y(x-vt) \hat{u}_y + B_z(x+vt) \hat{u}_z$$

Per dissociare le eq. con l'algoritmo del punto D, perdendo informazioni: cerco di recuperarle ricordandomi che: $w = x - vt$

$$\rightarrow \frac{\partial E_z}{\partial x} = \frac{\partial B_y}{\partial t}$$

$$\frac{\partial w}{\partial x} = 1 \Rightarrow \frac{\partial w}{\partial x} = \frac{\partial x}{\partial x} \Rightarrow dw = dx$$

$$\frac{\partial w}{\partial t} = -v \Rightarrow \frac{\partial w}{\partial t} = -v \frac{\partial t}{\partial t} \Rightarrow \frac{\partial w}{\partial t} = -v \Rightarrow dt = -\frac{1}{v} dw$$

$$\frac{\partial E_z}{\partial x} = \frac{\partial w}{\partial x} \frac{\partial E_z}{\partial w} = \frac{\partial E_z}{\partial w}$$

$$\rightarrow \frac{\partial B_y}{\partial t} = \frac{\partial E_z}{\partial w}$$

$$\therefore B_y = \int \frac{\partial B_y}{\partial t} dt = \int \frac{\partial E_z}{\partial w} \frac{\partial w}{\partial t} dt = \int \frac{\partial E_z}{\partial w} -v dt$$

Quindi:

$$E = N \cdot B$$

$$\vec{E} \cdot \vec{B} = 0 \Rightarrow \vec{E} \perp \vec{B}$$

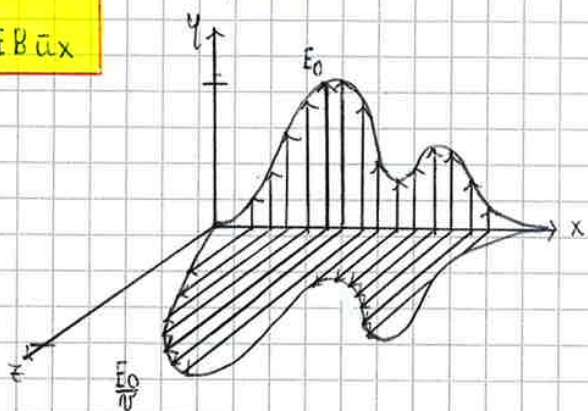
$$\vec{E} \wedge \vec{B} = \frac{E^2}{N} \vec{u}_x = N B^2 \vec{u}_x = EB \vec{u}_x$$

Proprietà del campo elettrico e magnetico delle onde piane

Ad esempio:

$$\vec{E} = E_x \vec{u}_y$$

$$\mu t=0: \vec{E} = E(x) \vec{u}_y \\ \vec{B} = \frac{1}{N} E(x) \vec{u}_z$$



Onde armoniche

$$\mu t=0:$$

$$\vec{E} = E_0 y \sin(Kx) \vec{u}_y + E_0 z \sin(Kx + \delta) \vec{u}_z$$

$\rightarrow K$ serve per rendere dimensionale x
($K [m^{-1}]$)

vettore d'onda

$$\mu t > 0:$$

$$\vec{E} = E_0 y \sin(K(x-vt)) \vec{u}_y + E_0 z \sin(K(x-vt) + \delta) \vec{u}_z$$

δ è una costante arbitraria che consente lo sfasamento rispetto a $\sin Kx$

$$\rightarrow pongo Kv=w$$

$$\vec{E} = E_0 y \sin(Kx-wt) \vec{u}_y + E_0 z \sin(Kx-wt+\delta) \vec{u}_z$$

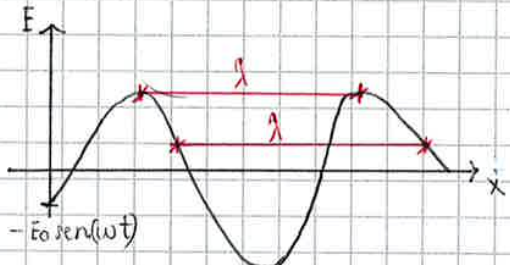
$$w = Kv = \text{pulsazione}$$

$$K = \text{numero d'onda o vettore d'onda}$$

$$\lambda = \frac{2\pi}{K} \text{ lunghezza d'onda}$$

$$T = \frac{2\pi}{w} \text{ periodo}$$

$$f = \frac{1}{T} \text{ frequenza}$$



λ = distanza tra 2 punti di ugual fase adiacente

Quindi:

$$\vec{E} = (0, E_y, E_z)$$

$$E_y = E_0 y \sin(Kx-wt) \vec{u}_y$$

$$\vec{B} = (0, -\frac{1}{N} E_z, \frac{1}{N} E_y, E_x)$$

$$E_z = E_0 z \sin(Kx-wt+\delta) \vec{u}_z$$

$$\vec{B} = -\frac{1}{N} E_0 z \sin(Kx-wt+\delta) \vec{u}_y + \frac{1}{N} E_0 y \sin(Kx-wt) \vec{u}_z$$

$$\vec{B} \perp \vec{E}$$

- onda piana armonica polarizzata linearmente

$$E = E_0 \sin(kx - \omega t)$$

$$S = \epsilon E^2 v = \epsilon v E_0^2 \sin^2(kx - \omega t)$$

$$S_m = \frac{1}{T} \int_0^{+\infty} S(t) dt =$$

$$= \frac{1}{T} \int_0^{+\infty} \epsilon v E_0^2 \sin^2(kx - \omega t) dt = \frac{1}{T} \lim_{T \rightarrow +\infty} \int_0^T \epsilon v E_0^2 \sin^2(kx - \omega t) dt =$$

$$= \frac{1}{T} \epsilon v E_0^2 \lim_{K \rightarrow +\infty} \int_0^{+Kx} \sin^2(z) dz \rightarrow z = \omega t - kx \quad dz = \omega dt \\ t \rightarrow 0 \Rightarrow z = -kx \\ t \rightarrow T \Rightarrow z = +Kx$$

$$\rightarrow S_m = \frac{K \epsilon v E_0^2}{W T \rightarrow +\infty} \int_{-Kx}^{+Kx} \sin^2 z dz$$

$$E = E_0 \sin(kx - \omega t)$$

→ calcolo il vettore di Poynting

$$\vec{S} = \epsilon E^2 \vec{v} = \epsilon v E_0^2 \sin^2(kx - \omega t)$$

$$S = \epsilon E_0^2 v \sin^2(kx - \omega t)$$

→ calcolo il vettore di Poynting medio

$$S_m = \frac{1}{T} \int_0^{+\infty} S(t) dt =$$

$$= \frac{1}{T} \int_0^{+\infty} \epsilon v E_0^2 \sin^2(kx - \omega t) dt =$$

$$= \epsilon v E_0^2 \cdot \frac{1}{T} \lim_{T \rightarrow +\infty} \int_{-Kx}^{+Kx} \sin^2(z) dz \rightarrow \text{Pongo } z = -kx + \omega t \\ dt = \omega dt \rightarrow dz = \frac{1}{\omega} dt \quad \mu T \rightarrow \infty \\ z \rightarrow \infty$$

$$= \epsilon v E_0^2 \frac{1}{T} \cdot \frac{1}{\omega} \lim_{T \rightarrow +\infty} \int_{-Kx}^{+Kx} \sin^2 z dz = \quad \mu t = 0 \Rightarrow z = -Kx \\ \mu t = T \Rightarrow z = -Kx + \omega T$$

$$= \epsilon v E_0^2 \frac{1}{T} \cdot \frac{1}{\omega} \lim_{T \rightarrow +\infty} \int_0^{WT} \sin^2 z dz = \quad \rightarrow \int_0^T f(x) dx = \int_a^{T+a} f(x) dx \text{ se } f \text{ è periodica con} \\ \text{periodo } T$$

$$= \epsilon v E_0^2 \frac{1}{T} \cdot \frac{1}{\omega} \lim_{T \rightarrow +\infty} \left[\frac{1}{2} (t - \sin t \cos t) \right]_0^{WT} =$$

$$= \epsilon v E_0^2 \frac{1}{T} \cdot \frac{1}{\omega} \lim_{T \rightarrow +\infty} \left(\frac{1}{2} WT - \sin WT \cos WT \right) =$$

$$= \epsilon v E_0^2 \frac{1}{\omega T} \cdot \frac{1}{2} WT$$

$$\rightarrow S_m = \frac{\epsilon v E_0^2}{2}$$

$$E_m^2 = \frac{1}{2} E_0^2$$

$$S_m = \epsilon v E_m^2$$

CONDENSATORI

- in serie $\frac{1}{C} = \sum_k \frac{1}{C_k}$ $q = \text{cost}$
 - in parallelo $C = \sum_k C_k$ $\Delta V = \text{cost}$

$\oplus \rightarrow \circlearrowleft$ uscente
 $\ominus \rightarrow \times$ entrante

RESISTORI

- in serie $R = \sum_k R_k$ $\dot{q} = \text{cost}$
 - in parallelo $\frac{1}{R} = \sum_k \frac{1}{R_k}$ $\Delta V = \text{cost}$

$$V(r) = - \int E(r) dr$$

$$\phi(\vec{E}) = \int_{\Sigma} \vec{E} d\vec{\sigma} \quad \text{Gauss} \rightarrow \phi(E) = \int_{\Sigma} \vec{E} d\vec{\sigma} = \frac{q}{\epsilon_0} \xrightarrow{\text{caica racchiusa dalla superficie}} \text{di Gauss}$$

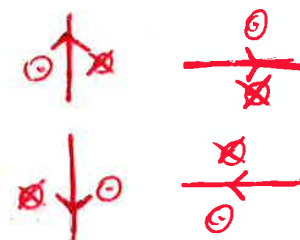
$$\phi(\vec{E}) = \vec{E} \cdot \vec{\Sigma} \quad \text{bif di flusso}$$

Induzione dilettica

$$\vec{D} = \epsilon \vec{E}$$

$$\phi(\vec{D}) = \int_{\Sigma} \vec{D} d\sigma = q$$

$$\phi(\vec{D}) = \vec{D} \cdot \vec{\Sigma}$$



In definitiva:

$$\vec{E} = 2K\sigma \log \frac{\sin \theta_2}{\sin \theta_1} \cdot \vec{i} + 2K\sigma (\theta_2 - \theta_1) \vec{j} = 2K\sigma \left(\log \frac{\sin \theta_2}{\sin \theta_1} \cdot \vec{i} + (\theta_2 - \theta_1) \vec{j} \right)$$

Osservazione: \vec{i} e \vec{j} sono concordi con gli assi quando puntano
se un baro nel II quadrante \vec{i} ha verso discorde ad x quindi è il
termine con \vec{i} è negativo (e così negli altri quadranti)

$$I_q: +\vec{i} \\ +\vec{j}$$

esempio:

$$\text{II quadrante} \Rightarrow \vec{E} = 2K\sigma \left(-\log \frac{\sin \theta_2}{\sin \theta_1} \vec{i} + (\theta_2 - \theta_1) \vec{j} \right)$$

$$II_q: -\vec{i} \\ +\vec{j}$$

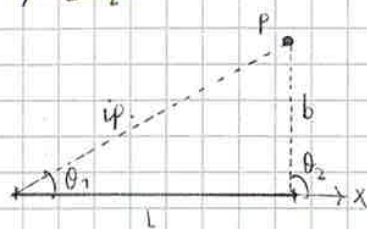
$$III_q: -\vec{i} \\ -\vec{j}$$

$$IV_q: +\vec{i} \\ -\vec{j}$$

CASI SPECIALI

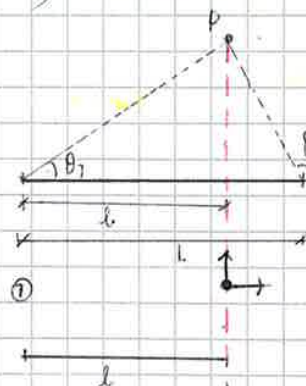
a) $\theta_2 = \frac{\pi}{2}$

$$\sin \theta_2 = \frac{b}{l} = \frac{b}{\sqrt{l^2+b^2}} \rightarrow \theta_1 = \arcsin \frac{b}{\sqrt{l^2+b^2}}$$



$$\vec{E} = 2K\sigma \left(\log \frac{\sqrt{l^2+b^2}}{b} \cdot \vec{i} + \left(\frac{\pi}{2} - \arcsin \frac{b}{\sqrt{l^2+b^2}} \right) \vec{j} \right)$$

b) $\theta_2 > \frac{\pi}{2} \Rightarrow$ la proiezione di P cade sul nostro



Dividendo il problema in 2 parti e applico la formula di punta

① tratto 1

$$\vec{E}_1 = 2K\sigma \left(\log \frac{\sqrt{l^2+b^2}}{b} \cdot \vec{i} + \left(\frac{\pi}{2} - \arcsin \frac{b}{\sqrt{l^2+b^2}} \right) \vec{j} \right)$$

② tratto 1-l

$$\vec{E}_2 = 2K\sigma \left(-\log \frac{\sqrt{(l-l)^2+b^2}}{b} \cdot \vec{i} + \left(\frac{\pi}{2} - \arcsin \frac{b}{\sqrt{(l-l)^2+b^2}} \right) \vec{j} \right)$$

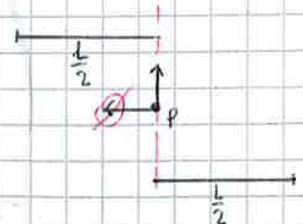
Adesso applico p.s. effetti e sommo i due contributi:

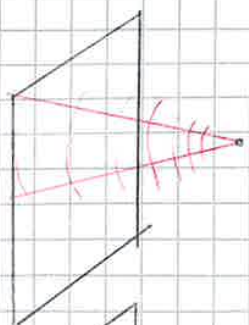
$$\rightarrow \text{corrispondere } l = \frac{l}{2}$$

In questo caso le componenti lungo x si ridono meno
uuali in modulo e avanti verso opposto.

Le componenti lungo y si sommano, ovvero si raddoppia
perché sono uguali in modulo e verso.
Quindi:

$$\vec{E} = \vec{E}_1 + \vec{E}_2 = 2\vec{E}_1 = 4K\sigma \left(\frac{\pi}{2} - \arcsin \frac{b}{\sqrt{b^2+\frac{l^2}{4}}} \right) \vec{j}$$

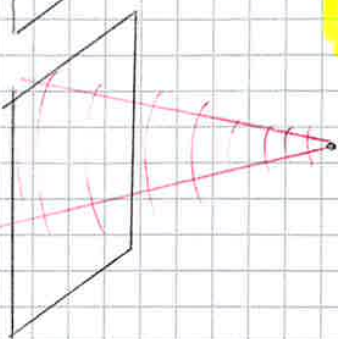




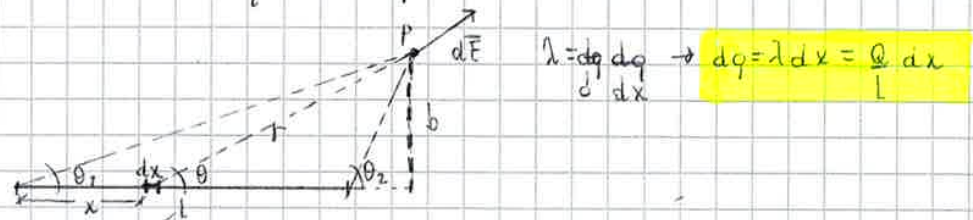
Sostanzialmente, allontanandosi dal piano nullo delle cariche che prima non riusciva a vedere

la dipendenza del campo elettrico dalla distanza è r^{D-2} dove D è la dimensione del corpo

punto \rightarrow dimensione 0 $\Rightarrow r^{-2}$
 filo \rightarrow dimensione 1 $\Rightarrow r^{-1}$
 piano \rightarrow dimensione 2 $\Rightarrow r^0$



- sbarco da lunghezza l portante una carica Q distribuita uniformemente



$$dF = \frac{dq}{4\pi\epsilon_0 r^2} = \frac{kQ}{r^2} \frac{dx}{L^2}$$

dF_x, dF_y calcolati come l'es precedente

$$\tan\theta = \frac{b}{l+a-x} \rightarrow \frac{dx}{d\theta} = \frac{b}{\sin\theta} \rightarrow dx = \frac{b}{\sin^2\theta} d\theta$$

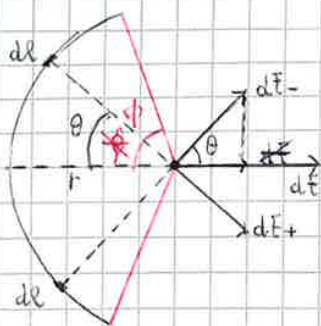
$$\sin\theta = \frac{b}{r} \rightarrow r = \frac{b}{\sin\theta}$$

$$dF = \frac{kQ}{L \sin^2\theta \cdot b^2} \frac{KQ}{L^2 b} d\theta$$



2) teoria di Gauss e PSE

- arco di circonferenza calcolo del campo nel centro



Attenzione! Non necessariamente l'arco è una semicirconferenza
Ea. Pd. l'angolo che individua il semicirco

Considero due elementi diametralmente opposti

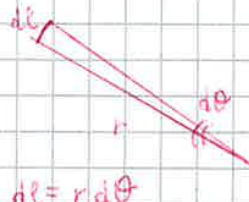
$$\frac{dq}{dl} = \frac{q}{l}$$

$$I = \frac{dq}{dl} \rightarrow dq = I dl = \frac{q}{l} dl$$

$$dE^- = dE^+ = \frac{Kq}{r^2} \frac{dl}{l r^2}$$

$$dE = dE^- \cos\theta + dE^+ \cos\theta = 2 dE^+ \cos\theta = \frac{2Kq}{l r^2} \frac{dl \cos\theta}{l r^2}$$

$$dE = \frac{2Kq}{l r} \cos\theta dl$$

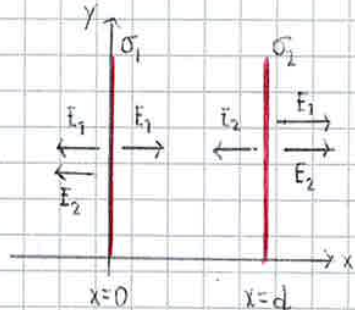


$$dl = r d\theta$$

Applico PSE: deve integrare fra 0 e phi perché l'altra parte del arco è tenuta già conto visto che considero elementi diametralmente opposti

$$E = \int_0^\phi \frac{2Kq}{l r} \cos\theta d\theta + E = \frac{2Kq}{l r} \sin\phi$$

- piani paralleli indefiniti con cariche distribuite diverse $\sigma_1 \neq \sigma_2$, $\sigma_1, \sigma_2 > 0$ ($\sigma_1 > \sigma_2$)



Ricordo: campo elettrico di un piano indefinito $E = \frac{\sigma}{2\epsilon_0}$
Il campo è normale ed uscente dal piano

Applico PSE nei tre tratti diversi per calcolare E: faccio la somma algebrica dei campi elettrici.

Per calcolare V(x) ricordo che

$$E(x) = -\nabla V \rightarrow \text{in una variabile } E(x) = -\frac{dV}{dx} \rightarrow V = \int -E dx + C$$

$$E(x) = \begin{cases} x < 0: & -\frac{\sigma_1}{2\epsilon_0} \\ 0 < x < d: & +\frac{\sigma_1 - \sigma_2}{2\epsilon_0} \\ x > d: & +\frac{\sigma_1 + \sigma_2}{2\epsilon_0} \end{cases}$$

$$V(x) = \begin{cases} x < 0: & +\frac{\sigma_1 + \sigma_2}{2\epsilon_0} x + C_1 \\ 0 < x < d: & \frac{\sigma_2 - \sigma_1}{2\epsilon_0} x + C_2 \\ x > d: & -\frac{\sigma_1 + \sigma_2}{2\epsilon_0} x + C_3 \end{cases}$$

per determinare le costanti:

① $V(0)$ è una funzione continua

② $V(\infty) = 0$

equazione fisica
equazione matematica

$$V(0^+) = V(0^-) \rightarrow \text{continuità in } 0$$

$$C_1 = C_2$$

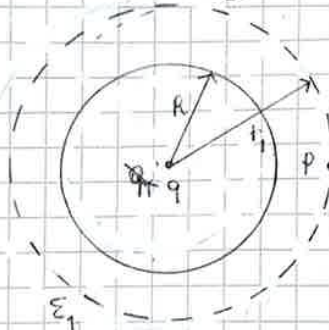
$$V(d^+) = V(d^-) + \text{costante in } d$$

$$\frac{\sigma_2 - \sigma_1}{2\epsilon_0} d + C_2 = -\frac{\sigma_1 + \sigma_2}{2\epsilon_0} d + C_3 \rightarrow C_3 - C_2 = \frac{\sigma_1 + \sigma_2}{2\epsilon_0} d$$

$$\frac{\sigma_1}{2\epsilon_0} d - \frac{\sigma_2}{2\epsilon_0} d = -\frac{\sigma_1 + \sigma_2}{2\epsilon_0} d + C_3 - C_2 \rightarrow C_3 = \frac{\sigma_2}{2\epsilon_0} d + C_2$$

Per semplicità ipotizzo $C_2 = 0 \neq V(x) =$
 $C_1 = 0$

- sfera con carica q distribuita uniformemente al suo interno.



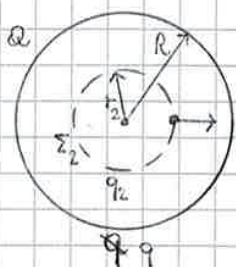
① $r > R$ (fuori dalla sfera)

Perciò una superficie di Gauss passante per P esce
verso il vuoto della sfera

$$\phi = \frac{q}{4\pi r^2 \epsilon_0} \rightarrow \text{fisso} \quad \text{area della sfera} = 4\pi r^2$$

$$q \rightarrow \text{th a Gauss}$$

$$\text{trigo. } E \cdot \delta \frac{q}{\epsilon_0} \rightarrow E = \frac{q}{4\pi r^2 \epsilon_0}$$



② $r < R$ (dentro alla sfera)

perciò percorsi da una sfera di raggio r dalla sup. di Gauss E

$$\phi = 4\pi r^2 E$$

$$q = \frac{q}{\epsilon_0} \rightarrow \rho = \frac{q}{V} = \frac{q}{4\pi r^3} \rightarrow \rho = \frac{q}{4\pi r^3} \rightarrow q = \frac{4}{3}\pi r^3 \rho$$

Quindi:

$$\frac{1}{4\pi} \cdot \frac{q}{\epsilon_0} = \frac{1}{4\pi} \cdot \frac{1}{3} \pi r^3 \rho \rightarrow F = \frac{1}{3\epsilon_0} \rho r$$

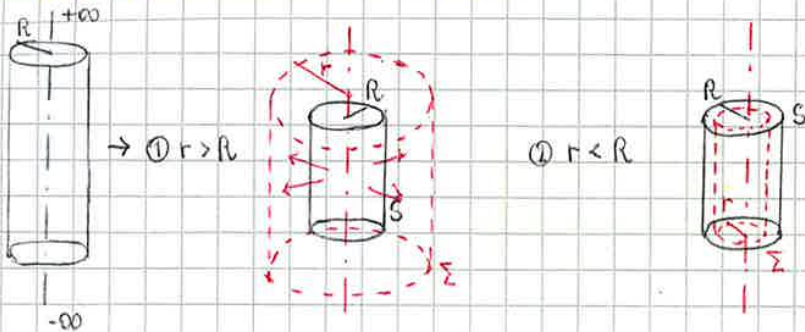
$$\phi = 4\pi r^2 E$$

$$R = \frac{q}{\epsilon_0} \rightarrow \phi = \frac{q}{r} + q_2 = \rho V = \frac{4}{3}\pi r^3 \rho \rightarrow \phi = \frac{4}{3}\pi r^3 \rho$$

Quindi:

$$\frac{1}{4\pi} \cdot \frac{1}{3} \pi r^3 \rho = \frac{1}{3\epsilon_0} \rho r \rightarrow F = \frac{1}{3\epsilon_0} \rho r$$

- campo elettrico di una carica distribuita uniformemente su una superficie cilindrica indefinita di densità di carica lineare σ



① $r > R$: scelgo come superficie di Gauss una sup. cilindrica coassiale con il cilindro S (entrambe sono infinite)

$$\phi_{\text{base}} = 0 \text{ per def. di flusso } \phi = \vec{E} \cdot \vec{\Sigma} = \vec{E} \cdot \vec{\Sigma} \text{ quindi } \phi_{\text{base}} = 0$$

$$\phi_{\text{tot}} = \phi$$

aia laterale di un cilindro di raggio $r > R$

$$\phi = E \cdot \Sigma = E \cdot 2\pi RL = 2\pi rLE \quad 2\pi rL \cdot E$$

$$q = \sigma \cdot A = \frac{dq}{dS} \cdot A = \frac{q}{S} \cdot A = \frac{q}{S} \cdot 2\pi RL \rightarrow \text{dove la carica è racchiusa} \quad \lambda = \frac{q}{L} \quad q = \lambda L$$

$$\text{Th di Gauss: } \phi = \frac{q}{\epsilon_0} \quad \lambda = \frac{dq}{dL} \quad q = \lambda L$$

$$\frac{q}{\epsilon_0} = 2\pi rL \cdot E$$

$$\lambda + \frac{2\lambda}{\epsilon_0} = 2\pi rL \cdot E \rightarrow E = \frac{\lambda}{2\pi rL \epsilon_0} \rightarrow \text{il campo creato da un filo indefinito è uguale a quello generato dal cilindro solo se } r > R$$

② $r < R$:

$$\text{def di flusso: } \phi = E \cdot \Sigma = E \cdot 2\pi rL$$

$$\text{Th di Gauss: } \phi = \frac{q}{\epsilon_0}$$

$q = 0$ perché la carica è posta sulla superficie cilindrica di raggio R e, essendo $r < R$, non vi è nessuna carica racchiusa dalla sup. di Gauss

Quindi:

$$E(r) = \begin{cases} 0 & \text{se } r < R \\ \frac{\lambda}{2\pi r \epsilon_0} & \text{se } r > R \end{cases}$$

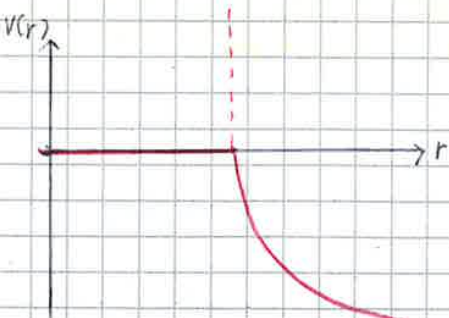
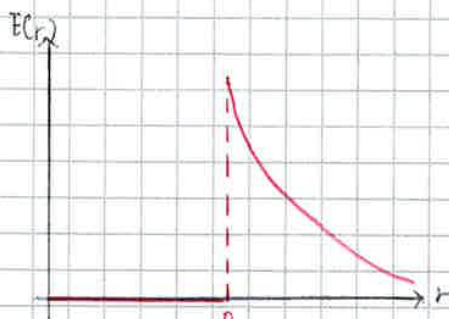
$$V(r) = \begin{cases} c_1 & \text{se } r < R \\ -\frac{\lambda}{2\pi \epsilon_0} \log r + c_2, \text{ se } r > R \end{cases} \Rightarrow \begin{cases} 0 & \text{per } r < R \\ \frac{\lambda}{2\pi \epsilon_0} \log \frac{R}{r} & \text{per } r > R \end{cases}$$

$$\text{Per continuità: } V(R) = V(\cancel{R}) \Rightarrow c_1 = -\frac{\lambda}{2\pi \epsilon_0} \log R + c_2$$

$$\therefore V(\infty) = 0 \Leftrightarrow c_2 = 0.$$

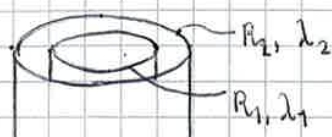
$$\text{Per trovare } c_2: V(R) = 0 \Rightarrow c_2 = \frac{\lambda}{2\pi \epsilon_0} \log R$$

$$V(r) = -\int F dr$$



③ ESERCITAZIONE

- superficie conduttrice indefinita



considero 3 sup. di Gauss
 ① $\Sigma_1: r < R_1$
 ② $\Sigma_2: R_1 < r < R_2$
 ③ $\Sigma_3: r > R_2$

Ai fini del calcolo del flusso non considero la buona faccia il corpo elettrico non lo invertire
 avendo radiale in ogni punto

① $r < R_1$

def. di flusso: $\phi = E \cdot \Sigma_1 = E \cdot 2\pi r \cdot l$

th di Gauss: $\phi = \frac{q}{\epsilon_0}$ ^{interno} \rightarrow carica racchiusa dalla sup di Gauss $q=0$

quindi $E=0$

Quindi $E=0$ ($r < R_1$) \rightarrow il campo elettrico è identicamente nullo all'interno di R_1

② $R_1 < r < R_2$

def. di flusso: $\phi = E \cdot \Sigma_2 = 2\pi r L \cdot E$

th di Gauss: $\phi = \frac{q}{\epsilon_0}$ \rightarrow carica interna racchiusa dalla sup di Gauss

$q = \lambda_1 \cdot L$

Quindi:

$$\lambda_1 L = 2\pi r L \cdot E \rightarrow E = \frac{\lambda_1}{2\pi r \epsilon_0}$$

③ $r > R_2$

def. di flusso: $\phi = 2\pi r L \cdot E$

th di Gauss: $\phi = \frac{q}{\epsilon_0}$ \rightarrow carica interna racchiusa dalla sup di Gauss

$$q = \lambda_1 L + \lambda_2 L = L(\lambda_1 + \lambda_2)$$

$$\text{Quindi: } E = \frac{\lambda_1 + \lambda_2}{2\pi r \epsilon_0}$$

- - -

Quindi:

$$E(r) = \begin{cases} 0 & \text{per } r \leq R_1 \\ \frac{\lambda_1}{2\pi r \epsilon_0} & \text{per } R_1 < r < R_2 \\ \frac{\lambda_1 + \lambda_2}{2\pi r \epsilon_0} & \text{per } r > R_2 \end{cases}$$

$$V(r) = - \int E(r) dr$$

$$V(r) = \begin{cases} c_1 & \text{per } r < R_1 \\ -\frac{\lambda_1}{2\pi \epsilon_0} \cdot \log r + c_2 & \text{per } R_1 < r < R_2 \\ -\frac{(\lambda_1 + \lambda_2)}{2\pi \epsilon_0} \cdot \log r + c_3 & \text{per } r > R_2 \end{cases}$$

$$V(R_1^-) = V(R_1^+)$$

$$c_1 = -\frac{\lambda_1}{2\pi \epsilon_0} \cdot \log R_1 + c_2$$

- condizionari per trovare le costanti:

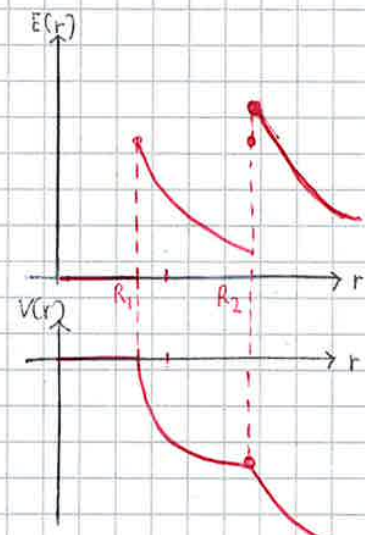
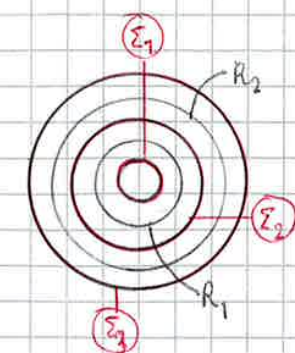
$$① V(R_1^-) = V(R_1^+)$$

$$② V(R_2^-) = V(R_2^+)$$

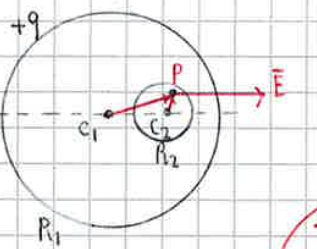
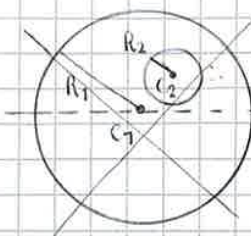
③ $c_1 = 0 \rightarrow$ all'interno il potenziale è costante e quindi $\Delta V = 0$

$$c_2 = \frac{\lambda_1}{2\pi \epsilon_0} \log R_1$$

$$c_3 = \frac{\lambda_1 + \lambda_2}{2\pi \epsilon_0} \log R_2 + \frac{\lambda_1}{2\pi \epsilon_0} \log \frac{R_1}{R_2}$$

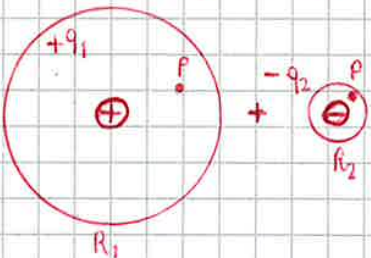


- sfera R₁ con q₁ avente all'interno una sfera c₁ con centro diverso da quello della sfera. Calcolare il campo nel punto P interno.



P è individuato unicamente da \vec{c}_1P e \vec{c}_2P

L'assenza di simmetria implica che non è possibile applicare il th di Gauss (non è facile applicarlo)



Pensa il problema nel seguente modo:

$$\rho = \frac{q}{V} = \frac{q}{\frac{4}{3}\pi(R_1^3 - R_2^3)}$$

$$q_1 = \rho V_1 = \frac{1}{3}\pi R_1^3 \cdot \rho$$

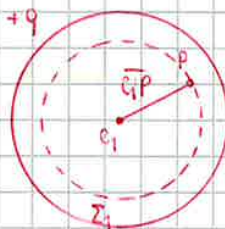
$$q_2 = \rho V_2 = \frac{1}{3}\pi R_2^3 \rho - \frac{1}{3}\pi R_1^3 \rho$$

① sfera ①: R₁, q₁, distanza dal punto P-centro = \vec{c}_1P

$E(r)$

def flusso: $\phi = E \cdot \Sigma = E \cdot \frac{4}{3}\pi R_1^2$

$$\text{th di Gauss: } \phi = \frac{q}{\epsilon_0} = \frac{q_1}{\epsilon_0} = \frac{1}{\epsilon_0} \frac{1}{3}\pi R_1^3 \rho$$



Considero come superficie di Gauss una sfera di centro c₁ e raggio uguale alla distanza di P da c₁

def. di flusso: $\phi = E \cdot \Sigma = \frac{1}{3}\pi C_1 P^2 E$

th di Gauss: $\phi = \frac{q}{\epsilon_0}$ + carica racchiusa dalla sup di Gauss

$$q = \rho \cdot V_1 = \rho \frac{4}{3}\pi C_1 P^3 \rho$$

Quindi:

$$\frac{1}{3}\pi C_1 P^2 E = \frac{1}{3}\pi C_1 P^3 \rho \rightarrow E = \frac{\rho}{3\epsilon_0} \cdot C_1 P \rightarrow \bar{E} = \frac{\rho}{3\epsilon_0} \cdot \vec{C}_1 P$$

② sfera ②: R₂, q₂, distanza dal punto P-origine = \vec{c}_2P

Analogamente al caso 1, si considera come superficie di Gauss, questa la sfera di centro c₂ e raggio uguale alla distanza di P da c₂

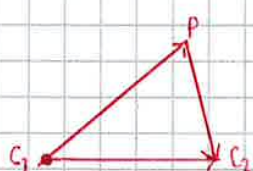
$$E = \frac{\rho}{3\epsilon_0} \cdot C_2 P \rightarrow \bar{E} = \frac{\rho}{3\epsilon_0} \cdot \vec{C}_2 P$$

carica negativa

Per il principio di sovrapposizione degli effetti: $\bar{E} = \bar{E}_1 + \bar{E}_2$

$$\bar{E} = \frac{1}{3\epsilon_0} \rho (\vec{C}_1 P - \vec{C}_2 P) = \frac{1}{3\epsilon_0} \rho (\vec{C}_1 P + \vec{C}_2 P) \text{ invertito il verso al vettore } \vec{C}_2 P \text{ e cambio di segno}$$

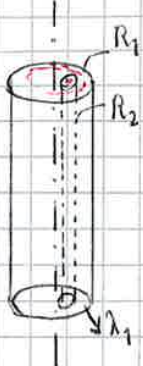
$$\bar{E} = \frac{1}{3\epsilon_0} \rho \vec{C}_1 \vec{C}_2 \rightarrow \text{il campo è orientato lungo } \vec{C}_1 \vec{C}_2$$



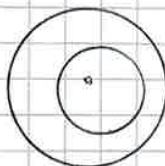
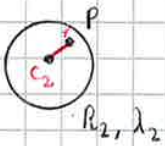
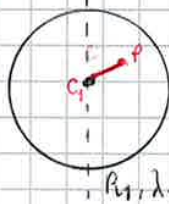
① ESERCITAZIONE

- cilindro inedito con carica cilindrica al suo interno.

Determinare il campo elettrico al suo interno



Vou avere una simmetria cilindrica univocamente il sistema come sovrapposizione di due cilindri: uno carico \oplus e l'altro \ominus



$$\lambda_1 = -\lambda_2 \\ \lambda_1 = \lambda, \quad \lambda_2 = -\lambda$$

$$\lambda = \frac{q}{L} \rightarrow q = \lambda L$$

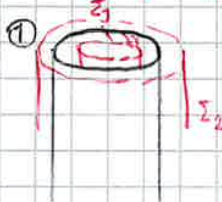
$$p = \frac{q}{V} \rightarrow q = pV \quad \Rightarrow \quad \lambda L = pV \rightarrow \lambda = \frac{pV}{L} = pA = p\pi R^2 \quad \text{Volume cilindro} = \pi R^2 \cdot L$$

$$\textcircled{1} \text{ def. di flusso } \phi(\vec{E}) = \Sigma \cdot E = \pi R_1^2 E$$

$$\oplus \quad \lambda = p\pi R^2$$

$$\lambda_2 = -p\pi R_2^2 \quad \lambda_2 = -\frac{q}{L} = -\lambda_1 = -\frac{q}{L} \quad p = \frac{q}{\lambda L} \rightarrow q = p\lambda L \quad / \quad q_1 = p\lambda_1 L \\ q_2 = p\lambda_2 L$$

$$\lambda = \lambda_1 + \lambda_2 \quad (R_1^2 - R_2^2) p\pi \quad \rightarrow \text{diametra di forza} \\ \text{lineare} \quad \cancel{\text{carica}} \quad \cancel{\text{cavità}}$$



$$\textcircled{1} \quad \Sigma_1: r < R_1$$

$$\text{def di flusso: } \phi(\vec{E}) = E \cdot \Sigma = E \cdot \pi R_1^2 \quad \Rightarrow \quad E \cancel{\pi R_1^2} = \frac{p\lambda_1 L}{\epsilon_0}$$

$$\text{th di Gauss: } \phi(\vec{E}) = \frac{q}{\epsilon_0} = \frac{p\lambda_1 L}{\epsilon_0}$$

$$\text{def di flusso: } \phi(\vec{E}) = E \cdot \Sigma =$$

th di Gauss

\rightarrow Ricomincio da qua ! +

$$\lambda = \frac{q}{L} \rightarrow q = \lambda L = q_1 + q_2 = q_1 - |q_2|$$

$$\lambda_1 = \frac{q_1}{L} \rightarrow q_1 = \lambda_1 L =$$

$$\lambda_2 = \frac{q_2}{L} \rightarrow q_2 = \lambda_2 L =$$

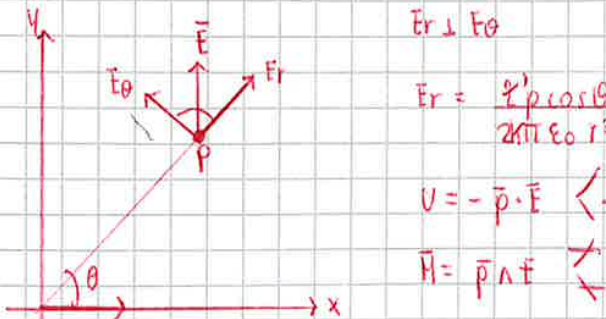
$$p =$$

$$p = \frac{q}{V} \rightarrow q = pV$$

$$pV = \lambda L$$

$$pA = \lambda L \Rightarrow \lambda = p \cdot A = p\pi R^2$$

- situazione tra dipoli



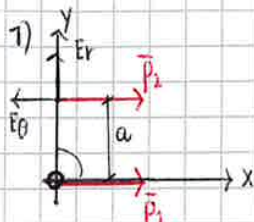
$\vec{E} = \vec{E}_r + \vec{E}_\theta$

$$E_r = \frac{2p_1 \cos \theta}{4\pi \epsilon_0 r^3}, \quad E_\theta = \frac{p_1 \sin \theta}{4\pi \epsilon_0 r^3}$$

$$U = -\vec{p} \cdot \vec{E} \quad \begin{cases} U_1 = -\vec{p}_1 \cdot \vec{E}_1 \\ U_2 = \vec{p}_2 \cdot \vec{E}_2 \end{cases}$$

$$\vec{H} = \vec{p} \wedge \vec{E}$$

① →



fisso il polo in \vec{p}_1 e vedo cosa succede in \vec{p}_2

$$a = \text{distanza tra dipoli} \\ \theta = \frac{\pi}{2}$$

Sache E_r sta sul rapporto congiungente p_1 , a , p_2 e ha verso da p_1 a p_2 (applicato a p_2)
 E_θ è ruotato di $\frac{\pi}{2}$ in senso antiorario rispetto \vec{E}_r

$$\vec{E}_1 = \vec{E}_r + \vec{E}_\theta = E_r \vec{u}_r + E_\theta \vec{u}_\theta$$

$$E_r = \frac{2p_1 \cos \theta}{4\pi \epsilon_0 r^3} = 0 \quad \text{perché } \theta = \frac{\pi}{2}$$

campo elettrico generato da 1 su 2

$$E_\theta = \frac{p_1 \sin \theta}{4\pi \epsilon_0 r^3} = \frac{p_1}{4\pi \epsilon_0 a^3}$$

$$\Rightarrow \vec{E}_1 = -E_\theta \vec{u}_\theta = -E_\theta \vec{u}_x = -\frac{p_1}{4\pi \epsilon_0 a^3} \vec{u}_x$$

ii

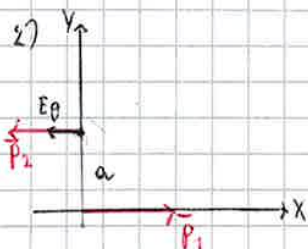
$$U = -\vec{p} \cdot \vec{E} \quad \begin{cases} U_1 = -\vec{p}_1 \cdot \vec{E}_2 \\ U_2 = -\vec{p}_2 \cdot \vec{E}_1 \end{cases}$$

$$\vec{H} = \vec{p} \wedge \vec{E} \quad \begin{cases} H_1 = (\vec{p}_1) \wedge \vec{E}_2 \\ H_2 = (\vec{p}_2) \wedge \vec{E}_1 \end{cases}$$

$U_1 = -\vec{p}_2 \cdot \vec{E}_1 = \frac{p_1 p_2}{4\pi \epsilon_0 a^3} \rightarrow$ non si riesce a distinguere se è energia potenziale del primo dipolo o del secondo

$$\vec{H}_2 = \vec{p}_2 \wedge \vec{E}_1 = p_2 \vec{u}_x \wedge \left(-\frac{p_1}{4\pi \epsilon_0 a^3} \right) \vec{u}_x = 0 \quad \text{perché } \vec{u}_x \wedge \vec{u}_x = \vec{0}$$

② ← →



$$r = a \\ \theta = \frac{\pi}{2}$$

$$\vec{E}_1 = \vec{E}_r + \vec{E}_\theta$$

$$E_r = \frac{2p_1 \cos \theta}{4\pi \epsilon_0 r^3} = 0, \quad E_\theta = \frac{p_1}{4\pi \epsilon_0 r^3}$$

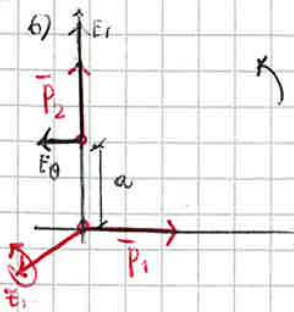
$$\vec{E}_1 = -E_\theta \vec{u}_\theta = -\frac{p_1}{4\pi \epsilon_0 r^3} \vec{u}_x$$

$$U_2 = -\vec{p}_2 \cdot \vec{E}_1 =$$

$$= -p_2 (-\vec{u}_x) \cdot \vec{E}_1 \vec{u}_x = -E_1 (-\vec{u}_x) = -\frac{p_1 p_2}{4\pi \epsilon_0 r^3}$$

$$\vec{H}_2 = \vec{p}_2 \wedge \vec{E}_1 = \vec{0}$$

≈



$$r = a \\ \theta = \frac{\pi}{2}$$

$$E_r = \frac{p_1 \cos \theta}{4\pi \epsilon_0 r^3} = 0$$

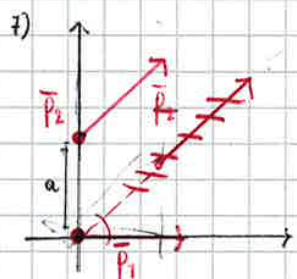
$$E_\theta = \frac{p_1 \sin \theta}{4\pi \epsilon_0 r^3} = \frac{p_1}{4\pi \epsilon_0 r^3}$$

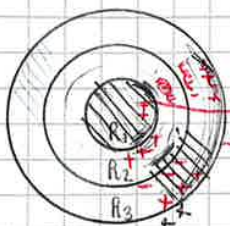
$$\vec{E}_1 = E_r \hat{u}_r + E_\theta \hat{u}_\theta = - \frac{p_1}{4\pi \epsilon_0 r^3} \hat{u}_x$$

$$U_1 = - \vec{p}_2 \cdot \vec{E}_1 = - p_2 \hat{u}_y \cdot \left(- \frac{p_1}{4\pi \epsilon_0 r^3} \right) \hat{u}_x = 0 \text{ perché } \hat{u}_x \cdot \hat{u}_y = 0$$

$$\vec{F}_2 = \vec{p}_2 \wedge \vec{E}_1 = p_2 \hat{u}_y \wedge \left(- \frac{p_1}{4\pi \epsilon_0 r^3} \right) \hat{u}_x = \frac{p_1 p_2}{4\pi \epsilon_0 r^3} \hat{u}_z \rightarrow \text{infatti ruota in senso antiorario}$$

rotazione attorno all'asse z



- condensatore sfesco

→ sfera da carica $+q$

→ guscio sfesco che inizialmente non porta carica

Cosa succede nel guscio sfesco?

gli elettroni liberi del guscio rimarranno attirati dalla sfera e quindi una parte libera di elettroni del guscio rimarrà sistematicamente.

Si creano tante cariche positive quante sono quelle negative.

Le cariche del guscio sono uguali a quelle della sfera perché il campo elettrico tra R_2 e R_3 è 0 e anche all'interno della sfera vale 0.

La sfera è dunque il 1° conduttore mentre il guscio è il 2° conduttore.

Calcolo $E(r)$ nei vari punti ricordando che, all'interno della sfera, il campo è nullo.
Negli altri tratti applica il th di Gauss.

① $r < R_1 \rightarrow E(r) = 0$ (all'interno della sfera = 1° conduttore)

② $R_1 < r < R_2$

considero la sup. di Gauss \rightarrow sfera tra R_1 e R_2

def di flusso: $\phi(\vec{E}) = \vec{E} \cdot \vec{\Sigma} = E \cdot h\pi r^2 \rightarrow$ area della sfera

th di Gauss: $\phi(\vec{E}) = \frac{q}{\epsilon_0} \rightarrow$ carica racchiusa dalla sup di Gauss

$\phi(\vec{E}) = \frac{q}{\epsilon_0} \rightarrow$ carica della sfera

$$\text{Quindi: } \frac{q}{\epsilon_0} = E \cdot h\pi r^2 \rightarrow K = \frac{1}{h\pi \epsilon_0} \Rightarrow \epsilon_0 = \frac{1}{h\pi \cdot K}$$

$$q \cdot h\pi K = E \cdot h\pi r^2$$

$$E = \frac{Kq}{r^2} \text{ per } r \in (R_1, R_2)$$

③ $R_2 < r < R_3 \rightarrow E(r) = 0$ poiché la carica racchiusa dalla sup di Gauss è 0 infatti la carica del guscio sfesco è uguale a quella della sfera.

④ $r > R_3$

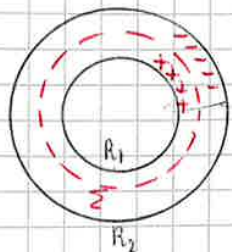
def di flusso: $\phi(\vec{E}) = \vec{E} \cdot \vec{\Sigma} = E \cdot h\pi r^2$

th di Gauss: $\phi(\vec{E}) = \frac{q}{\epsilon_0} = h\pi K \cdot q \rightarrow$ la carica racchiusa è q (si annullano quello + della sfera e - del guscio, ma rimane la carica esterna del guscio)

$$\text{Quindi: } E(r) = \frac{Kq}{r^2}$$

- superficie cilindrica di concentriche = cilindro piano + piano cilindrico (ESAME)

Stesse considerazioni fatte prima



area della superficie di Gauss $2\pi r \cdot L$

① $r < R_1 \rightarrow E(r) = 0$ perché all'interno del condensatore il campo elettrico è nullo

② $R_1 < r < R_2$: per la simmetria del problema, considero una sup. di Gauss cilindrica e concentrica alla precedente

def di flusso $\phi(E) = E \cdot \Sigma = E \cdot 2\pi r \cdot L$

$$\Rightarrow E \cdot 2\pi r \cdot L = \frac{\lambda V}{\epsilon_0} \rightarrow E \cdot 2\pi r \cdot L = \frac{1}{4\pi\epsilon_0} k \cdot \lambda \cdot L \rightarrow E = \frac{k\lambda}{r}$$

th di Gauss: $\phi(E) = \frac{q}{\epsilon_0} = \frac{1}{4\pi\epsilon_0} k \cdot \lambda \cdot L$

$$q = \frac{1}{4\pi\epsilon_0} k \cdot \lambda \cdot L \rightarrow \lambda = \frac{q}{L} \rightarrow q = \lambda L$$

③ $r > R_2 \rightarrow E(r) = 0$? perché?

Allora

$$E(r) = \begin{cases} 0 & \text{per } r < R_1 \\ \frac{2\lambda K}{r} & \text{per } R_1 < r < R_2 \\ 0 & \text{per } r > R_2 \end{cases}$$

$$\text{per } r < R_1 \quad \text{per } R_1 < r < R_2 \quad \text{per } r > R_2$$

c_1

per $r < R_1$

c_2

per $R_1 < r < R_2$

c_3

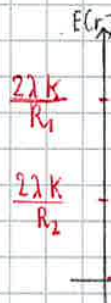
per $r > R_2$

$$V(R_1^-) = V(R_1^+) \rightarrow c_1 = -2k\lambda \log R_1 + c_2 \rightarrow c_1 = +2k\lambda (\log R_2 - \log R_1) = 2k\lambda \log \frac{R_2}{R_1}$$

$$V(R_2^-) = V(R_2^+) \rightarrow -2k\lambda \log R_1 + c_2 = c_3 \rightarrow c_2 = 2k\lambda \log R_1$$

$$V(\infty) = 0 \rightarrow c_3 = 0$$

$$V(r) = \begin{cases} 0 & \text{per } r < R_1 \\ \frac{2k\lambda \log \frac{R_2}{R_1}}{r} & \text{per } R_1 < r < R_2 \\ 0 & \text{per } r > R_2 \end{cases}$$



$\Delta V = \text{dip} \rho$ tra le due armature = $V_{\text{int}} - V_{\text{est}} =$

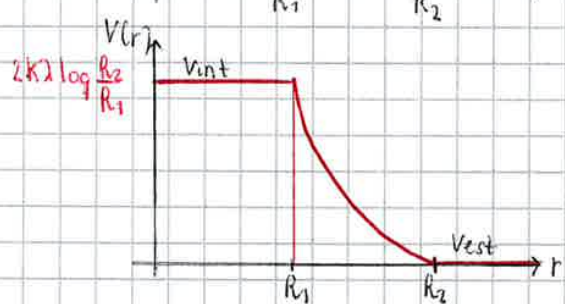
$$= V_{\text{int}} = 2k\lambda \log \frac{R_2}{R_1} \rightarrow \text{punto dal grafico:} \text{ tra i punti più interni e più esterni dove } V \text{ è costante}$$

$$C = \frac{q}{\Delta V} =$$

$$k = \frac{1}{4\pi\epsilon_0} \rightarrow \Delta V = 2k\lambda \log \frac{R_2}{R_1} = \frac{1}{4\pi\epsilon_0} \lambda \log \frac{R_2}{R_1} = \frac{\lambda}{2\pi\epsilon_0} \log \frac{R_2}{R_1} = \frac{q}{2\pi\epsilon_0 L} \log \frac{R_2}{R_1}$$

$$q = \lambda L \rightarrow \lambda = \frac{q}{L}$$

Quindi: $C = \frac{q}{\Delta V} = \frac{q}{2\pi\epsilon_0 L} \cdot \frac{L}{\log \frac{R_2}{R_1}}$ → capacità di un condensatore cilindrico nel vuoto
Vale solo per un tratto di lunghezza L perché se $L \rightarrow \infty \Rightarrow C \rightarrow 0$

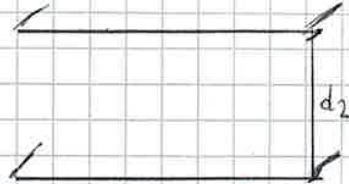
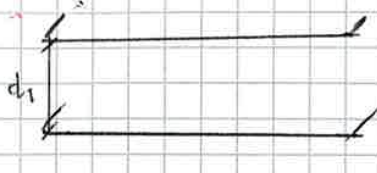


⑤ ESERCITAZIONE

- un condensatore piano a distanza iniziale d_1 succedentemente distanza $d_2 > d_1$

$$U = \frac{1}{2} C Q^2 = \frac{1}{2} Q \Delta V = \frac{1}{2} C (\Delta V)^2$$

$$Q_1 = C_1 V_1$$



① BATTERIA $\Rightarrow V = \text{cost}$

$$\text{energia potenziale: } \Delta U_A = U_2 - U_1 = \frac{1}{2} C_2 V_2^2 - \frac{1}{2} C_1 V_1^2 \quad V_1 = V_2$$

$$\Delta U_A = \frac{1}{2} V^2 (C_2 - C_1)$$

$$C = \frac{Q}{\Delta V}$$

$$\Delta U_A = \frac{1}{2} V^2 \left(\frac{Q_2}{\Delta V} - \frac{Q_1}{\Delta V} \right) =$$

$$(C = \epsilon_0 \frac{A}{d}) \rightarrow \text{condensatore piano!} \quad A_2 = A_1$$

$$C_1 = \epsilon_0 \frac{A}{d_1} \rightarrow C_2 = \epsilon_0 \frac{A}{d_2}$$

$$[\Delta U_A = \frac{1}{2} V^2 \epsilon_0 A \left(\frac{1}{d_2} - \frac{1}{d_1} \right)] \rightarrow \text{RFC perché allontanando le armature due ottiene } \Delta U < 0$$

infatti $d_2 > d_1 \rightarrow \frac{1}{d_2} < \frac{1}{d_1}$

$$\Delta Q_A = Q_2 - Q_1 = \epsilon_0 V_2 - \epsilon_0 V_1 = V (C_2 - C_1) =$$

$$= \epsilon_0 A \cdot V \left(\frac{1}{d_2} - \frac{1}{d_1} \right) = \frac{2 \Delta U_A}{V} < 0 \rightarrow \text{RFC perché allontanando le armature la differenza di campo elettrico si moltiplica}$$

② NO BATTERIA $\Rightarrow Q = \text{cost}$

$$\Delta U_B = \frac{Q_2^2}{2C_2} - \frac{Q_1^2}{2C_1} = \frac{1}{2} Q^2 \left(\frac{1}{C_2} - \frac{1}{C_1} \right)$$

$$\Delta U_B = \frac{Q_2^2}{2C_2} - \frac{Q_1^2}{2C_1} = \frac{1}{2} Q^2 \left(\frac{1}{C_2} - \frac{1}{C_1} \right) = \text{infatti } L = \int_{d_1}^{d_2} dl \text{ dove } dl = -dq \Delta V = -dq \frac{q}{C}$$

$$L = -dq \cdot \frac{q}{C} = \frac{1}{C} \left(\frac{1}{2} q^2 \Big|_{d_1}^{d_2} \right) = -\frac{1}{2} \frac{1}{C} Q^2$$

$$L = -\Delta U = U_1 - U_2 = -(U_2 - U_1)$$

$$U_2 - U_1 = \frac{1}{2} \frac{1}{C} Q^2$$

$$\text{Quindi: BATTERIA} \Rightarrow V = \text{cost} \Rightarrow \Delta U = \frac{1}{2} C (\Delta V)^2$$

$$\text{NO BATTERIA} \Rightarrow Q = \text{cost} \Rightarrow \Delta U = \frac{1}{2} \frac{1}{C_2} Q_2^2 - \frac{1}{2} \frac{1}{C_1} Q_1^2$$

$$\text{BATTERIA} \Rightarrow V = \text{cost} \Rightarrow \Delta U = U_2 - U_1 = \frac{1}{2} C_2 V_2^2 - \frac{1}{2} C_1 V_1^2 = \frac{1}{2} V^2 (C_2 - C_1)$$

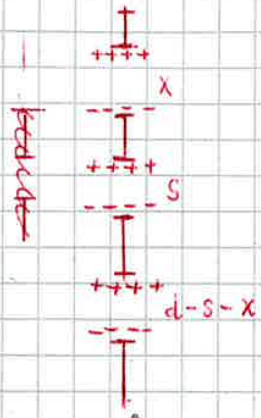
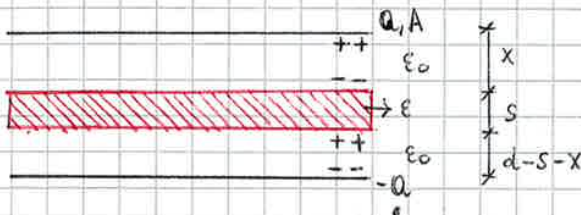
$$\text{NO BATTERIA} \Rightarrow Q = \text{cost} \Rightarrow \Delta U = U_2 - U_1 = \frac{1}{2} \frac{1}{C_2} Q_2^2 - \frac{1}{2} \frac{1}{C_1} Q_1^2 = \frac{1}{2} Q^2 \left(\frac{1}{C_2} - \frac{1}{C_1} \right)$$

B) BATTERIA $\Rightarrow V = \text{cost}$

$$\Delta U_B = \frac{1}{2} \Delta V^2 (C_2 - C_1) = \frac{1}{2} V^2 (C_2 - C_1) = \frac{1}{2} V^2 \left(\frac{\epsilon_0 A}{d-s} - \frac{\epsilon_0 A}{d} \right) = \frac{1}{2} V^2 \cdot \epsilon_0 A \left(\frac{1}{d-s} - \frac{1}{d} \right) > 0$$

è

- inserimento di un dielettrico fra le armature di un condensatore di costante dielettrica ϵ (esercizio batteria $V = \text{cost}$)



ma magari il condensatore come 3 condensatori in serie

Pur i condensatori in serie $\frac{1}{C} = \sum \frac{1}{C_n}$

$$\frac{1}{C_2} = \frac{1}{C(x)} + \frac{1}{C(s)} + \frac{1}{C(d-s-x)} = \frac{x}{\epsilon_0 A} + \frac{s}{\epsilon A} + \frac{d-s-x}{\epsilon_0 A} =$$

$C = \frac{\epsilon_0 A}{d} \rightarrow$ f. generale

$$\frac{1}{C_2} = \frac{1}{A} \left(\frac{d-s}{\epsilon_0} + \frac{s}{\epsilon} \right)$$

Allora

$$\Delta U = U_2 - U_1 = \frac{1}{2} Q^2 \left(\frac{1}{C_2} - \frac{1}{C_1} \right) = \frac{1}{2} Q^2 \left(\frac{1}{A} \left(\frac{d-s}{\epsilon_0} + \frac{s}{\epsilon} \right) - \frac{1}{A} \right) =$$

$$= \frac{1}{2} Q^2 \left(\frac{s}{\epsilon} - \frac{s}{\epsilon_0} \right) = \frac{1}{2} Q^2 \cdot s \left(\frac{1}{\epsilon} - \frac{1}{\epsilon_0} \right) = \frac{1}{2} Q^2 s \left(\frac{\epsilon_0 - \epsilon}{\epsilon \cdot \epsilon_0} \right) = - \frac{\epsilon - \epsilon_0}{\epsilon} \left(\frac{Q^2 s}{2 \epsilon_0 A} \right)$$

$\Delta U < 0$ perché $\epsilon_0 < \epsilon$

è diminuita quindi l'energia dopo l'inserimento del dielettrico

Se tu sei costante la ddp allora aumentando la capacità, aumenterà l'energia.

Si può energia per polarizzare il dielettrico.

La polarizzazione del dielettrico non avviene gratis.

Quando $\Delta V = 0$, $V = \text{cost} \Rightarrow$ fuente di batteria che fornisce energia per polarizzare il dielettrico.

$\forall \epsilon, \epsilon_0 < \epsilon$

$\epsilon = k \epsilon_0$ dove k è costante dielettrica relativa $k = \frac{V_0}{V_R} = \frac{\epsilon_0}{\epsilon_R} > 1$

$$U(x) = U_2 - U_1 = \frac{1}{2} C(x) V^2 - \frac{1}{2}$$

$$U(x) = \frac{1}{2} V^2 C(x) = \frac{1}{2} \frac{Q^2}{C(x)} \quad U(x) = \frac{1}{2} V^2 C(x) = \frac{1}{2} \frac{Q^2}{C(x)}$$

$$C(x) = \frac{Q}{V(x)}$$

$$V(x) = F \cdot h = \frac{\sigma_1(x) \cdot h}{\epsilon} = \frac{\sigma_2(x) \cdot h}{\epsilon_0}$$

Allora:

$$V(x) = \frac{Q}{L} \left(\frac{h}{x(\epsilon - \epsilon_0) + l\epsilon_0} \right) \cdot h \cdot \frac{1}{\epsilon} = \frac{Q h}{(x(\epsilon - \epsilon_0) + l\epsilon_0)} \rightarrow V(x)$$

Allora:

$$\epsilon(x) = \frac{h}{l(x(\epsilon - \epsilon_0) + l\epsilon_0)}$$

Allora:

$$U(x) = \frac{1}{2} Q^2 \cdot \frac{l(x(\epsilon - \epsilon_0) + l\epsilon_0)}{h}$$

$$(l\epsilon_0) = \frac{l(x(\epsilon - \epsilon_0) + l\epsilon_0)}{h} \rightarrow C(x)$$

Allora:

$$U(x) =$$

$$U(x) = \frac{1}{2} Q^2 \frac{h}{L(x(\epsilon - \epsilon_0) + l\epsilon_0)} \rightarrow U(x) \rightarrow \text{fatto} \quad \text{Poché se il dielettrico non c'è} \Rightarrow x = 0$$

$$U = \frac{1}{2} Q^2 \frac{h}{L \cdot L \cdot \epsilon_0} = \frac{1}{2} Q^2 \frac{h}{A \cdot \epsilon_0} = \frac{1}{2} \frac{Q^2}{C}$$

formula dell'energia di elettostatica per condensatori piani

Per def di lavoro
 $W = F \cdot X$

In termini infinitesimali

$$dW = F dx$$

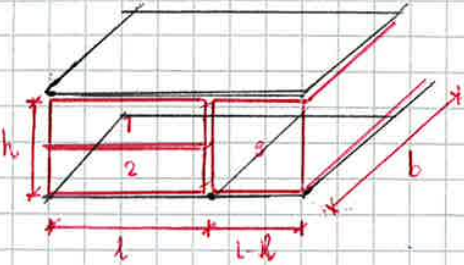
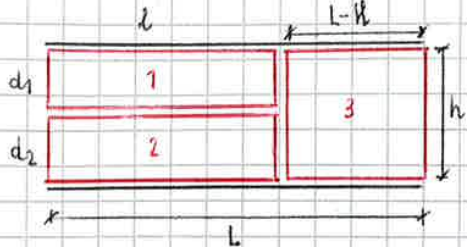
$$F = \frac{dU}{dx} \quad \text{ricordo che } dW = -dU$$

$$F = - \frac{dU}{dx} = - \frac{1}{2} \frac{Q^2}{h} +$$

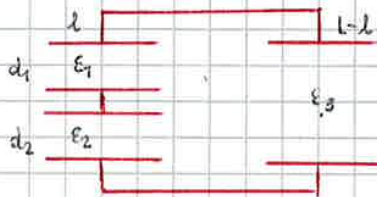
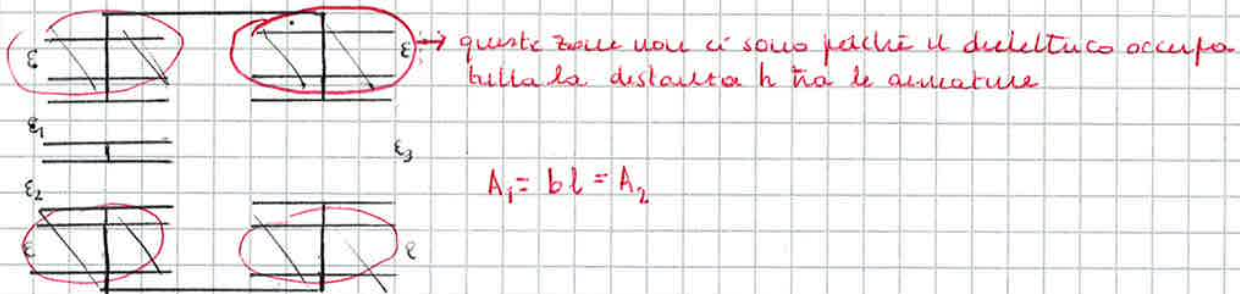
$$F = - \frac{1}{2} \frac{Q^2}{L} \frac{d}{dx} \left(\frac{1}{x\epsilon - x\epsilon_0 + l\epsilon_0} \right) = + \frac{1}{2} \frac{Q^2 h}{L} \frac{\epsilon}{(x\epsilon - x\epsilon_0 + l\epsilon_0)^2} =$$

$$= \frac{1}{2} \frac{Q^2}{L} \cdot h \frac{\epsilon - \epsilon_0}{[x(\epsilon - \epsilon_0) + l\epsilon_0]^2} = \frac{Q^2 h}{2L} \frac{\epsilon - \epsilon_0}{(x(\epsilon - \epsilon_0) + l\epsilon_0)^2}$$

$\frac{1}{C}$ sono note $\epsilon_1, \epsilon_2, \epsilon_3$, dei materiali che occupano lo spazio tra le armature del condensatore calcolare C



Analogo il sistema come una combinazione di condensatori in serie e in parallelo



calcolare la capacità del sistema equivalente a calcolare la capacità del condensatore formato da due condensatori in serie e uno in parallelo

Calcolo prima la capacità dei due condensatori in serie

$$\rightarrow \text{condensatore in serie} \Rightarrow \frac{1}{C} = \sum_k \frac{1}{C_K}$$

$$\frac{1}{C_S} = \frac{1}{C_1} + \frac{1}{C_2} = \frac{d_1}{\epsilon_1 \cdot A_1} + \frac{d_2}{\epsilon_2 \cdot A_2} = \frac{1}{b \cdot l} \left(\frac{d_1}{\epsilon_1} + \frac{d_2}{\epsilon_2} \right) \Rightarrow C_S = C_{1,2} = bl \left(\frac{\epsilon_1 \epsilon_2}{\epsilon_2 d_1 + \epsilon_1 d_2} \right)$$

$$C = \frac{\epsilon A}{d} \text{ in generale}$$

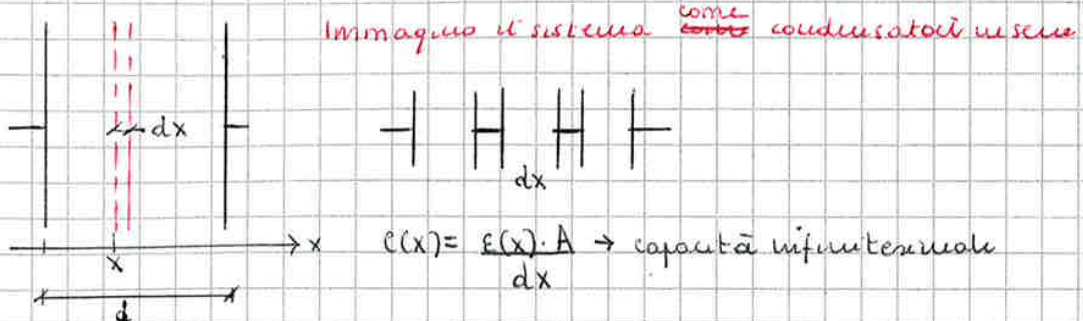
$$\rightarrow \text{condensatore in parallelo} \Rightarrow C = \sum_k C_K$$

$$C_P = C_{TOT} = C_{1,2} + C_3 = bl \left(\frac{\epsilon_1 \epsilon_2}{\epsilon_2 d_1 + \epsilon_1 d_2} \right) + \frac{\epsilon_3}{h} \cdot A_3 = bl \left(\frac{\epsilon_1 \epsilon_2}{\epsilon_2 d_1 + \epsilon_1 d_2} \right) + b(l-l) \cdot \epsilon_3 =$$

$$= bl \left(\frac{\epsilon_1 \epsilon_2}{\epsilon_2 d_1 + \epsilon_1 d_2} \right) + \frac{bl \epsilon_3}{d_1 + d_2} + \frac{bl}{d_1 + d_2} \epsilon_3 =$$

$$= b \left(\frac{\epsilon_1 \cdot \epsilon_2}{\epsilon_2 d_1 + \epsilon_1 d_2} l - \frac{\epsilon_3}{d_1 + d_2} \cdot l + \frac{\epsilon_3 \cdot l}{d_1 + d_2} \right)$$

- tra le accuature c'è un mezzo dielettrico con ϵ che dipende da x .
Calcolare la capacità del condensatore.



$$\frac{1}{C} = \sum_k \frac{1}{C_k} = \frac{1}{\epsilon(x)} \Rightarrow \frac{1}{C} = \int_0^d \frac{1}{\epsilon(x)} dx = \int_0^d \frac{1}{A(\epsilon(x))} dx = \frac{1}{A} \int_0^d \frac{1}{\epsilon(x)} dx$$

$$\Rightarrow C(x) = \frac{A}{\int_0^x \frac{1}{\epsilon(x')} dx'}$$

Se ad esempio $\epsilon(x) = \epsilon_1 + \frac{\epsilon_2 - \epsilon_1}{d} x \Rightarrow C(x) = \frac{(\epsilon_2 - \epsilon_1)}{d \log \frac{\epsilon_2}{\epsilon_1}} A$

Ricordo - Regole CFO -

$$\underline{\sin}\left(\frac{\pi}{2} + \alpha\right) = \cos \alpha$$

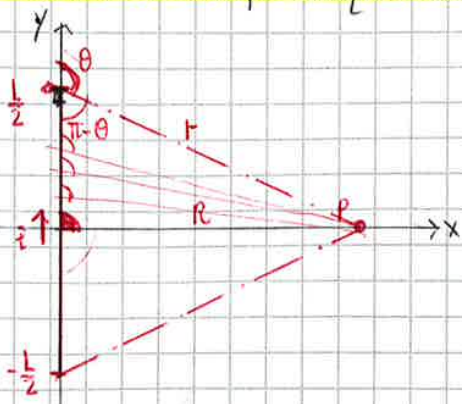


$$\underline{\cos}\left(\frac{\pi}{2} + \alpha\right) = -\sin \alpha$$

$$\underline{\sin}\left(\pi + \alpha\right) = -\sin \alpha$$

$$\underline{\cos}\left(\pi + \alpha\right) = -\cos \alpha$$

- calcolo del campo magnetico di un conduttore i, L ad una distanza R dal centro



il filo è finito!

a) prendo un elemento dl sul tratto superiore

$$d\bar{B} = \frac{\mu_0 i}{4\pi} \frac{dl \wedge \bar{r}}{r^3} \text{ legge di Ampere-Laplace}$$

$$d\bar{l} \wedge \bar{r} = dl \hat{r} - dl r \sin \theta \hat{u}_z + \frac{dl}{r} \hat{u}_x$$

(rotatione nel senso orario)

Sia $-\hat{u}_z = \hat{u}_y$

inoltre scappando \hat{r} ha solo la componente attiva \hat{u}_x quindi $\hat{u}_y \wedge \hat{u}_x = -\hat{u}_z$

$$d\bar{l} \wedge \bar{r} = dl r \sin \theta \hat{u}_y$$

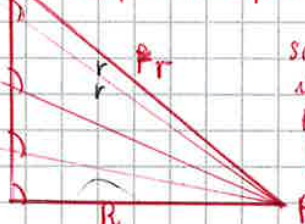
$$\Rightarrow d\bar{B} = \frac{\mu_0 i}{4\pi} \frac{dl \sin \theta \hat{u}_y}{r^2}$$

$$\bar{B} = \int d\bar{B}$$

due tratti deple oltre estremi di integrazione "intelligenti"
Sto considerando solo il tratto superiore

Noto che conosco

$d\theta_1$ (del problema puro) (della P)



Scelgo come estremi di integrazione gli angoli che fanno il tratto infinitesimo di scelta di volte in volta con il punto P

Noto che questo angolo varia da II a I,

Il valore II è assunto dall'elemento infinitesimale che si trova sulla stessa direzione di P.

Dico esplicitamente tutte le grandezze dipendenti da θ , in funzione di θ

i non dipende da θ

r^2 dipende da θ

$$\frac{1}{2} \begin{array}{c} \text{---} \\ | \\ \text{---} \end{array} \begin{array}{c} \pi - \theta \\ r \\ \text{---} \end{array} \quad \sin(\pi - \theta) = \frac{R}{r} \Rightarrow \sin(\pi - \theta) = \sin \theta = \frac{R}{r}$$

$$r = \frac{R}{\sin \theta} \Rightarrow \frac{1}{r^2} = \frac{\sin^2 \theta}{R^2}$$

$$\Rightarrow \bar{B} = \frac{\mu_0 i}{4\pi} \frac{dl \sin \theta}{r^2}$$

dl dipende da $\theta \rightarrow$ CONTINUA SUL ALTRA PAGINA